Statyuahr N3BECTИЯ

АКАДЕМИИ НАУК АРМЯНСКОЙ ССР

Sthubyuuuu арыльфальшьгр исгри СЕРИЯ ТЕХНИЧЕСКИХ НАУК

theyur

ÉPEBAH

ԽՄԲԱԳՐԱԿԱՆ ԿՈԼՈԳԵԱՐ

РЕДАКЦИОННАЯ КОЛЛЕГИЯ

Касьян М. В. (отист редактор), Адонц Г. Т. (зам отнет реляктора), Алексевский В. В., Анакии А. К., Горояк Т. 1. Егиалиров И. В. Задоли М. А., Назароц 1. Т. Пинаджин В. В. (зам ответ редактора), Тер-Азарьей И. А. Отнетственный секретары Степании З. К.

ыйрыяры прид тыпубь врама 1, прыдрам фид. 25. Аврес редакции: Ерения—1, ул. Абоняна, 15 Տեխսիկական գիտութ, սեբիա

XXIV, № 6, 1971

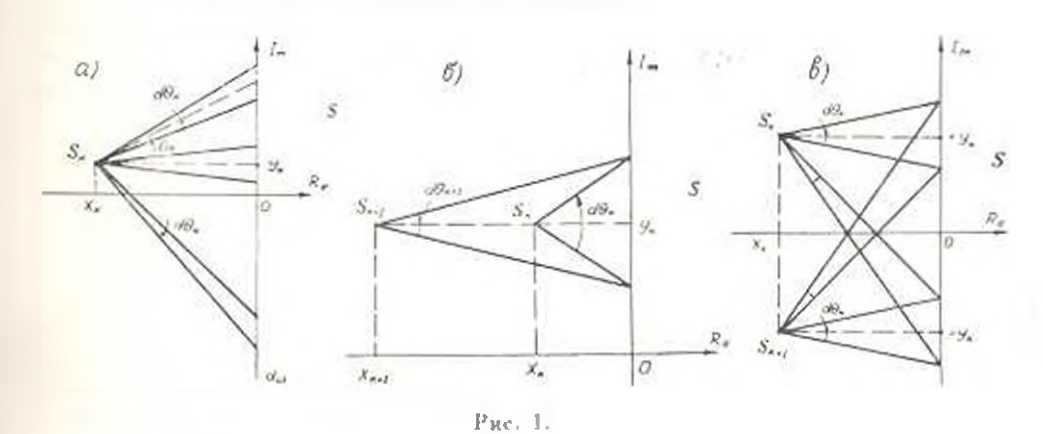
Серия техническ х нау-

ВЫЧИСЛИГЕЛЬНАЯ ТЕХНИКА

д. О. МЕАКУМЯН

ИССЛЕДОВАНИЕ СИСТЕМ АВТОМАТИЧЕСКОГО УПРАВЛЕНИЯ МЕТОДОМ ПРОИЗВОДНОЙ АРГУМЕНТА

1. Постановка задачи. Из геометрической интерпретации принцина аргумента (рис. 1, a) очевидно, что равномерное изменение частоты вдоль мнимой оси приводит к неравномерному изменению аргумента. В бескопечном интервале частоты скорость изменения аргумента (производная аргумента) растет от нуля до некоторого значения и снопа падает до нуля. При этом экстремальное значение производной аргумента обратно пропорционально действительной части кория характеристического полинома (рис. 1, b), а величина частоты, при которой производная аргумента достигает экстремального значения, равна мнимой части корня (рис. 1, в). Эти положения и лежат в основе метода производной аргумента.



2. Своиства производной аргумента. Рассмотрим характеристический полином системы регулирования

$$D(s) = \sum_{k=0}^{n} a_k s^{n-k} = a \prod_{k=1}^{n} (s - s_k),$$
 (1)

где a_s действительные числа, s_t — корни полинома. Положим в (1 $s=j\omega$,

$$D(j_m) = a_0 \prod (j_m - s_r) = u(m) + jv(m), \qquad (2)$$

тогда

$$\arg D(j^{(n)}) = \sum_{k=1}^{n} \arg \left(\sum_{i=1}^{n} \frac{1}{u(w)} \cdot \sum_{i=1}^{n}$$

Пусты

$$\theta_0 = \arg(j\omega - s_0)$$
 $u = \theta = \arg D(j\omega)$.

Тогда из (3) получим:

$$0 - \sum b_n = \operatorname{arctg} - \frac{1}{2}$$
 (4)

Следовательно

$$\theta' = \sum_{k=1}^{n} \theta'_{k} = \frac{uv' - vu'}{u^{2} + v^{n}}$$
 (5)

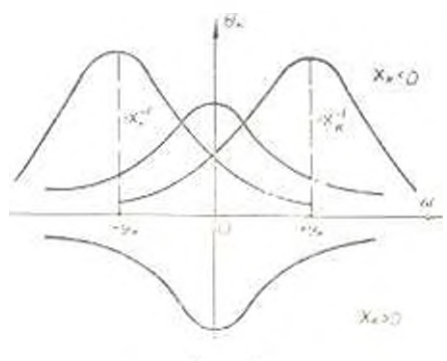
(если θ_{κ} существуют), где производняя взята относительно частоты. Из рис. 1, а следует, что

$$V_a = \operatorname{arctg} \frac{w - y_b}{-x_b}$$
, (6)

отскода

$$S_{k}^{*} = \frac{dS_{k}}{dw} = \frac{x_{k}}{x_{k}} + (w - y_{k})^{2}. \tag{7}$$

Необходимо заметить, что при $x_k = 0$ функция (6) неопределена и, значит, не имеет производной (7). Поэтому рормулы (5) и (7) справедливы только в случаях, когда x = 0, т. е. при отсутствии чисто мнимых корней.



Puc. 2.

В наиболее характерных случаях графики зависимости (7) приведены на рис. 2, откуда нетрудно установить следующие свойства компонент производной аргумента. Если все коряи многочлена расположены и левой полуплоскости ($x_c < 0$), то в бескопечном интерпале частоты:

А. Функции (положительно-определенные:

B.
$$\max_{\omega} \mathbb{I}(\omega) = -\frac{1}{|\omega|} \operatorname{npr}(\omega = y_F)$$

С. При неограниченном приближении корня к мнимой оси экстремальное значение функции (д. (ш) безгранично возрастает;

D.
$$\lim_{n \to \infty} \{n_n\} = 0;$$

Е. Площадь, расположенная между кривой $\ell_k^*(m)$ и осью абецисс, равна в, т. е.

$$\int b_k(u)\,du=-c_k$$

Свойства A, B, C, D оченидны из выражения (7), а свойство $\mathbb E$ следует из принципа аргумента [1] или можно получить непосредственным интегрированием соотношения (7). Для свойств A и E легко показать и обратное. Если $\mathcal I_k(w)$ положительно-определенная функция или удовлетноряет условико $\mathbb E$, то соответствующий корень расположен в левой полуплоскости. Это непосредственно следует из формулы (7).

Некоторые аналогичные свойства можно получить для производной аргумента. Из формулы (5) на основании свойств A. C. D. E следует (при $x_i < 0$):

Б. Функция ((в) положительно-определенная и четная;

G. При пеограниченном приближскии корпей к мнимой оси наибольшее значение функции (п) безгранично позрастает;

H.
$$\lim \mathfrak{G}'(\omega) = 0$$
;

К. Площадь, расположенная между годографом производной аргумента и осью частот, равна л=, т. е.

$$\tilde{\int}\theta'\left(\omega\right)\,d\omega=\omega\pi,$$

Обратное, вообще гоноря, имеет место только в случае K, на основе которого установлен новый критерий устойчиности.

3. Критерий устойчивости. Докажем справедливость следующего утверждения: если площадь, расположенная между годографом производной аргумента (5) и абсциссой равна п. то система устоичива. Действительно, из принципа аргумента следует, что

$$\int_{0}^{\pi} |f_{k}^{\tau}(\omega)| d\omega = \pi. \tag{8}$$

$$n=\int\limits_{-\infty}^{\infty}\theta'\left(\omega\right)\,d\omega=\sum_{k=1}^{n}\int\limits_{-\infty}^{\infty}\theta_{k}(\omega)\,d\omega\leqslant\sum_{k=1}^{n}\int\limits_{-\infty}^{\infty}\left|\theta_{k}\left(\omega\right)\right|d\omega=n\pi.$$

Следовательно

$$\int_{-\infty}^{\infty} (s) ds = \tau. \text{ e. } x_k < 0.$$

Таким образом, необходимое и достаточное условие устойчивости системы имеет следующий вил:

$$\int \mathcal{G}'(\omega) d\omega = \pi \gamma, \tag{9}$$

где и степень характеристического полинома.

Так как - (w) является четной функцией от частоты, то условие (9) можно привести к более простому виду:

$$\int \theta'(\omega) d\omega = \frac{1}{2}.$$
 (10)

Соотношение (10) можно использовать и качестве как аналитического, так и графического критерия. Однако применение (10) в качестве аналитического критерия нецелесообразно, так как интегрирование функции (5) для больших и представляет трудоемкую задачу. Поэтому его лучше использовать в качестве графического критерия. Хотя и построение годографа производной аргумента не дает преимущества относительно годографа Михайлова в качестве графического критерия, однако при помощи наибольшего значения производной аргумента представляется возможность оценить параметры качества переходного процесса. Заметим, что при нарушении условия (10) система будет либо нейтральна, либо неустойчива. При этом если в (ш) знакопеременна в бескопечном интерваде частоты, то система неустойчива [пуществует отрицательное слагаемое в сумме (5)]. В противном случае корни многочлена (1) необходимо сдвинуть вправо на величину в

 $=\frac{1}{n \sup \theta'(w)}$. Если для полученного многочлена $\theta'(w)$ внакопостоянна,

то система неустойчина, в противном случае-нейтральна.

4. Оценки показателей качества переходного процесса. Докажем, что степень устойчивости линейных систем не меньше обратной величины наибольшего значения производной аргумента, т. е.

$$\frac{1}{\sup_{\{a\}} (a)} \tag{11}$$

Действительно, для устойчивых систем h' и Φ_{h} являются положительно определенными функциями, поэтому

$$\sup b'(\omega) = \sup \sum_{i=1}^{n} \theta_{ik}(\omega) - \sup \theta_{ik}'(\omega). \tag{12}$$

На основании свойства В имеем:

$$\sup \theta_k(w) = \frac{1}{x_k}. \tag{13}$$

где хі действительная часть корня характеристического нолинома. Из (12) и (13) следует:

$$-x_k = \frac{1}{\sup_{k \in \{\omega\}}}, \quad (k = 1, 2, \cdots, n)$$
 (14)

что доказывает справедливость соотношения (11).

В частном случае, когда ближайший к мнимой оси корень действительный, имеем

$$\sup \delta'(\omega) = \delta'(0) = \frac{\alpha_0}{\alpha_0} \tag{15}$$

Последнее сонкадает с результатом, полученным с помощью формул Виета [2]. Таким образом, для косвенных параметров качества можно указать следующие границы:

$$\frac{1}{\sup \theta'(\omega)} \leqslant \delta \leqslant \min_{k} \left| \frac{a_{k}}{a_{0}} \frac{1}{C_{n}^{k}} \right|^{\frac{1}{k}}; \tag{16}$$

$$\frac{1}{\sup^{b'(w)\cdot \max_{k}\left(\frac{a_{k}}{a_{k-1}}\right)} < \mu \leq \frac{\min_{k}\left|\frac{a_{k}}{a_{0}}\right|^{\frac{1}{k}}}{\min_{k}\left(\frac{a_{k}}{a_{k-1}}\right)},$$
(17)

где р = min (cos φ_k) называется степенью колебательности. Так как не установлена прямая снязь межу коспенным и прямым показателями качества переходного процесса [3], то оценки лишь коспенных показателей не могут гарантировать желаемый переходный процесс. Быстрота процесса зависит не только от коспенных параметров качества, но и от начальных условий и кратности корней характеристического полинома. На практике пачальные условия настолько разнообразны, что в каждом конкретном случае их влияние на переходный процесс необходимо рассматривать отдельно.

Влияние кратности корпей на быстродействие САР может быть установлено с помощью наибольшего значения производной аргумента в наиболее важном случае начальных условий

$$y(0) = 1, \quad y^{(k)}(0) = 0, \quad k = 1, 2, 3, \dots, n-1,$$
 (18)

где у-пыходная неличина системы. Аналиэ показывает, что время регулирования системы увеличивается не больше, чем в т раз, когда ближайший к минмой оси корень имеет кратность т. Поскольку в этом случае наибольшее значение производной аргумента увеличивается точно в т раз, то время регулярования системы меньше наибольшего значения производной аргумента, т. е.

$$t_0 = \sup_{\theta} \theta^*(\theta), \quad t = 3 - 5. \tag{19}$$

Таким образом, постросние годографа производной аргумента дает нозможность не только судить об устойчивости систем, но и производить оценку показателей качества переходного процесса.

5. Часленный метод определения корней полинома. Без ограничения общности можно полягать, что система устойчива, так как для всех полиномов вида (1) можно обеспечить условие устойчивости при помощи подстановки

$$s = z - R$$

где R — раднус круга, внутри которого расположены все корни многочлена [4].

Сущность метода азключается в том, что последовательно сдингаются кории многочлена и сторопу мнимой оси до тех пор, пока наибольшее значение производной аргумента не стремится к бесконечности. По сумме шагов сдвига определяется действительная часть кория, а значение частоты, при которой производная аргумента претерневает разрыв, определяет мнимую часть кория. В качестве шага сдвига выбирается обратная ведичина наибольшего значения производной аргумента.

Докажем сходимость метода. Пусть по такому вагоритму построена последовательность шагов 64. Часны последовательности положительны, так как после каждого сдвига и силу условии (11) система остается устойчивой. С другой стороны, в является монотонно убывающей последовательностью, так как после каждого сдвига увеличивается наибольшее значение производной аргумента. Следовательно,

по признаку сходимости. Даламбера, ряд $\sum\limits_{k} \delta_{k}$ сходится. При этом

$$\tilde{a} = \sum_{k} a_k = \min_{k} |x_k|. \tag{20}$$

Дажее выделяется найденный коронь многочлена и описанная процедура повторяется для определения остальных корней. Так как для рассматриваемых полиномон справедлино неравенство [4]:

$$y_k \leqslant |s_k| = \max_k \left(\frac{a_k}{a_{k-1}}\right). \tag{21}$$

то поиск наибольшего значения производной аргумента достаточно производить лишь в конечном интернале частоты

$$0 \le \omega \le \max_{k} \left(\frac{a_k}{a_{k-1}} \right). \tag{22}$$

Это существенно упрощает мадачу поиска. Метод хорошо реализуется на ЦВМ, благодаря использонанию схемы Горнера.

ЕрНИИММ

Поступихо 23.ИП.1970.

Գ. Հ. ՄիլջութՄՅԱՆ

ԱՎՏՈՄԱՏ ԿԱՌԱՎԱՐՄԱՆ ՈՒՈՏԵՄՆԵՐԻ ՀԵՏԱԶՈՏՈՒՄԸ ԱՐԳՈՒՄԵՆՏԻ ԱԾԱՆԵՅԱՍԻ ՄԵԹՈԳՈՎ

Ամփոփում

Ավատմատ կառավարման սիստենի հետարոտման ՝ ամար առաջարկվում է նոր մեկեսը, որի հիմրում բնկած են այդ սիստեմի բնությացին բազմանդամի արդումենաի ածանցյալի և և շարբ հետաթրբիր հատկություններ։ Ցույց է արբ-ված, որ բնությալի՝ բազմանդամի արդումենաի ածանցյալը և բաղագրիչ-ների դումար է, որոնք միարժնրորեն որոչվում են բազմանդամի համապատասիան արժատներով։ Առաչադրվում է կանոնավորման սիստեմի կայունության որոշվան նոր չափանիչ՝ առանց գտնելու բնությարըիչ բազմանդամի արժատները նոր չափանիչի հետրավորություն է տալիս որոշել ոչ միայն կահնավորման սիստեմի կայունությունը, այլև բանակապես վնահատել սիստենի որակը հերված են մի ջանի դնահատականներ անցողիկ պրոցեսների որակի պարամետրների համար, որոնը ստացված են բնությարիը բազմանդանի դանի արդումենաի ածանցյալի միծաղույն արժերի հիման վրա։

JIBITEPALYPA

- 1. Шабат Б. В. Введение в помплексный вналия. Изд. "Неука", М., 1969.
- Мелкумин Д. О. О ранных показателей начества переходного процесса "Известия АН Арм. ССР (серия Т. Н. т. XXI, № 6, 1968.
- Фельдбоум А. А. Электрические емстемы автоматического регулирования. Оборонгия, М., 1957.
- 4. Поив Си Сеге / Ввдачи и тгоремы в знализи Ч. І. Госпедит, М., 1956.

ՀԱՅԿԱԿԱՆ ԱՍՀ ԳԻՏՈՒԹՅՈՒՆՆԵՐԻ ԱԿԱԳԵՄԻԱՅԻ ՏԵՂԵԿԱԳԻՐ **ИЗВЕСТИЯ АКАДЕМИИ НАУК АРМЯНСКОЙ ССР**

Տեխնիկական դիստութ, ռեշկա

XXIV, Nº 6, 1971 Compaction of the Compaction of the Compact of th

ГИДРАВЛИКА

М. Г. БАРСЕГЯН

О КОЭФФИЦИЕНТЕ СОПРОТИВЛЕНИЯ ТРЕНИЯ ПРИ НЕУСТАНОВИВШЕМСЯ ДВИЖЕНИИ В ТРУБАХ

Исследование турбулентного режима неустановившегося движения жидкости связано с большими трудностями и по этой причине изучен педостаточно. В этой области имеются пемногочисленные работы, которые решают лишь частные вопросы. Общее решение попроса о потерях энергии при турбулентном режиме движения до пастоящего премени не существует.

Настоящая статья также явдяется частным решением этой задачи - в ней сделана полытка экспериментальным путем определить величину коэффициента сопротивления трения неустановившегося ускоренного движения жидкости иму для случая, когда в начальный момент жидкость находится в покос, а разпость давлений постоянна.

Аля этой цели проведено несколько серий опытов с развыми днаметрами труб. В качестве жидкости использована вода, движение которои происходило в следующих условиях: жесткая труба наполнена водой, находящейся в равновески, меновенно открывая конец трубы, создается ускоренное движение, которое через некоторое время практически устанавлинается. Лапор в течении всего опыта остается поетоянным. Во время опыта измеряются объемы Won за короткий промежуток времени 1, соответствующие ускоренному движению. Для каждого опыта намеряется расход установиниегося движения 🖟 с помощью которого определяются кинематические неличины установившегося движения.

Для сравнения имеющихся действительных объемов неустановившегося потока W_{π} с расчетными объемами W_{μ} , когла потери учитывают по формулам установившегося движения, нало определить расчетный объем И.

Элементарный объем, вытекающий в промежутке времени dt, булет

$$dW_p = \nabla dT \tag{1}$$

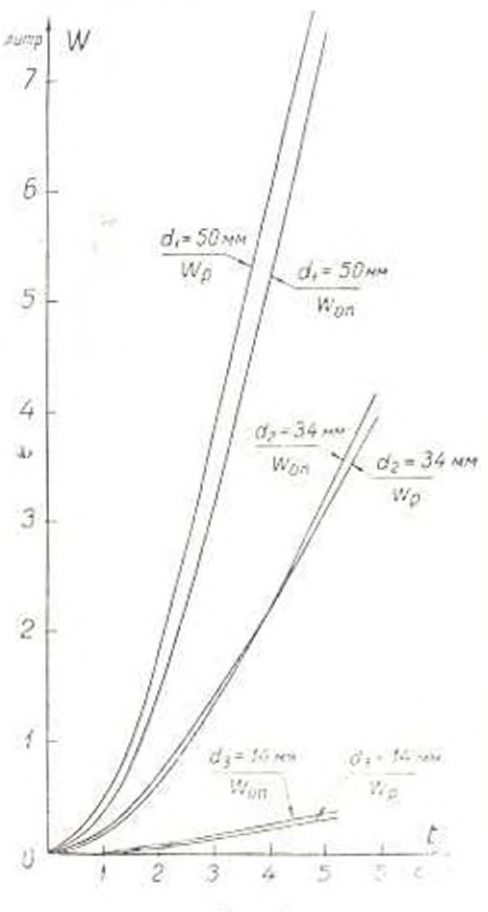
Здесь

$$v = v_1 \frac{e^{z_1} - 1}{e^{z_1} + 1}$$
 (2)

где — площадь живого сечения трубы; 💯 — средняя скорость по живому ссчению установившегося движения; — параметр, имеющий размерность времени, определяемый по формуле [2]:

$$z = \frac{lv_y}{2\pi H}$$
 was $z = \frac{l}{v_y(1 - \zeta_{y,1})}$, (3)

(I-данна трубы, II-напор, 4 - коэффициент сопротивления системы).



Puc. I.

Интенгрируя (1) с использованием (2) в интервале [0, t], получим

$$W_p = n v_3 \tau k_s$$
 (4)

rae

$$k = \ln \frac{(e^{i\alpha} + 1)^n}{4e^{i\alpha}}$$

Опыты проводились для трех диаметров: d = 50; 34; 14 мм. По имеющимся значениям фактических и расчетных объемов построены кривые зависимостей $W_n = W_p(t)$ и $W_{an} = W_{an}(t)$ для вышеуказанных диаметров (рис. 1.) Серия опытов при d = 50 мм показывает, что лее

фактические точки находятся ниже расчетной кривой, т. с. $W_{n} < W_{n}$ Измеренные точки для второго и третьего диаметров расподагаются следующим образом: дл некоторого значения времени / фактические объемы находятся ниже расчетной кривой, т. е. $W < W_{\rho_1}$ после чего W становится больше расчетного объема Wo; при этом с уменьшением диаметра пересечение расчетных и опытных кривых происходит раньше.

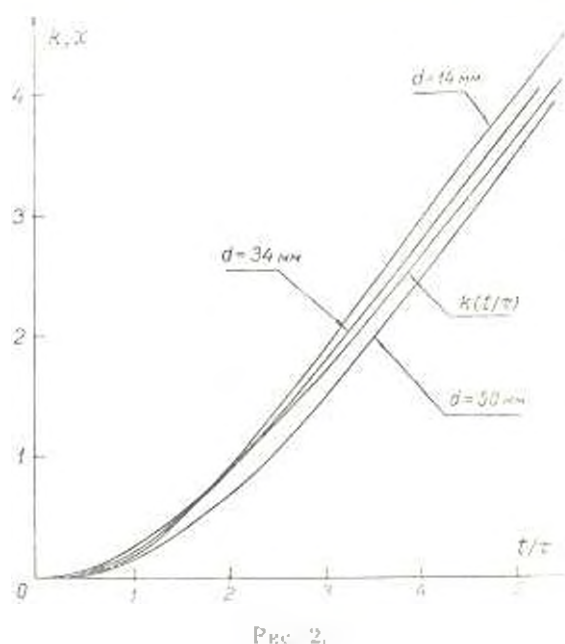
Объемы и время выразим через безразмерные ведичины. Произведение чиу: имеет постоянное значение для каждого опыта, обозначая его через A, для параметра k получии:

$$k = W_n A. (5)$$

Поступая аналогичным образом, будем иметь:

$$x = W_{00}(A,$$
 (6)

По подсчитанным значениям к и х построены графики записимостей $k - k(t, \tau)$ и $x - x(t, \tau)$ (рис. 2). Расчетная кривая $k(t)\tau$) является общей



для исех диаметров, а фактические крииме располагаются вокруг исе, составляя семейство кривых. По критерию Рейнольдся все опыты проведены в области гидравлически гладких труб 🕼 нерное менопоние — длижение даминарное!.

Из вышензложенного следовало бы сделать вывод об уменьшении потерь энергии при меньших диаметрах по сравнению с потерями соответствующего установившегося движения. Однако, такой вывод был бы неверным, поскольку сравиналотся объемы неидентичных режимов движения. Отклонение от расчетной кривой, по-нидимому, можно объяснить тем, что при меньших диаметрах ламинарность длится дольше, и, несмотря на унеличение числа Рейнольдеа (большего его критичествого значения), режим движения продолжает оставаться даминарным. А при ламинарном режиме движения, как известно [1], потери энергии больше, чем при соответствующем установившемся движении.

Величину коэфрициента — определяем следующим образом. За некоторый короткий промежуток времени — I₁ разность расчетных объемов будет:

 $W_{ij} = W_{ik} = \text{evel}(k_1 - k_1),$ (7)

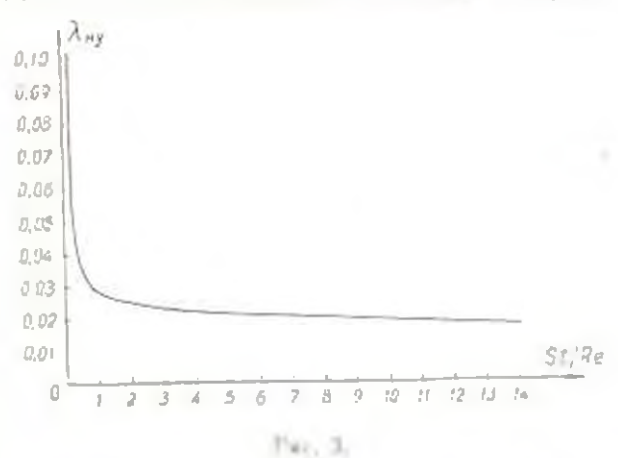
где потери энергии учтены в нараметре т. Используя (3), получим:

$$\{V_{p_i} \quad V_{p_i} = k_i\}$$

Здесь коаффициент сопротивления системы 🛴 будет;

$$z_{d} = z_{d,d} = i \frac{1}{d}$$
 (8)

где Сва - коэффициент сопротивления при входи и трубу.



Если для того же промежутка премени I_n — впачение принять постоянным, то, заменяя разность расчетиых объемон $W_{\rho 1}$ разностью измеренных объемон — 20 тот же промежуток премени, можно определить кожффициент т. е.

$$W_{10} = W_{01} = \frac{1}{1 + \dots + l} \frac{1}{d} \tag{9}$$

Пренебрегая величиной 1 буден вметь:

$$\lambda_{s+} = -d \frac{k - -k_1}{W_{ct} - W_{ct}}$$
, (10)

По значениям подститанным по формуле (10), построена кривая зависимости $t_{\rm My} = \lambda_{\rm sy} \, ({\rm St/Re}) \, ({\rm puc. 3}).$ Методом подбора получениая кривая аппроксимирована степенной фуккцией:

$$y = ax^n + c, \tag{11}$$

где

$$y = i_{\text{My}}$$
; $x = \text{St.Re.}$

После определения величин параметров a, b и c для коэффициента λ_{n_1} получается следующая формула:

$$r_{\rm ay} = 0.00084 \, \text{J} / \frac{\text{Re}}{51} + 0.012.$$
 (12)

(Рормула (12) имеет достаточную точность для первого приближения, оча применима в пределах

$$\frac{\text{St}}{\text{Re}} = (0.3 - 14.0) \frac{1}{4}$$

гле у кинематический коэффициент вязкости.

Таким образом, формула коэффициента сопротивления трения неустановиниегося ускоренного движения $T_{\rm ку}$ получается в виде степенной функции (12), и для увеличения пределов се применимости в дальнейшем необходимо уточнить величины параметров a, b и c.

Ерепоневий политехнический циститут им. К. Маркео

Поступная 3.И.1971.

Մ. 1. ԲԱՐՈՒՂՅԱՆ

ՇՓՄԱՆ ԳԻՄԱԳՐՈՒԹՅԱՆ ԳՈՐԾԱԿՑԻ ՄԱՍԻՆ՝ ԽՈՂՈՎԱԿՆԵՐՈՒՄ ՈՉ-ՈՏԱՑԻՈՆԱՐ ՇԱՐԺՄԱՆ ԳԵՊՔՈՒՄ

Ամփոփում

Հարկանում, ելնելու փորձարարական հատպոտությունների արգլուսբնրեց ցույց արված որ արադացող տուրբուլենտ ռեժիմի դեպբում էներդիայի կորսուստները միտ մեծ են՝ բան Համապատասիան ստացրոնար չարժման դեպբում։ Փորձերի տվյալների Դիման վրա դուրս է բերված փոստ դիմադրության գործակցի (12 բանաձևը՝ հանված Ստրուխալի և Ռեմուլդսի քվերի Հարաբերությունից։

հուլը է արվում, որ ստացված բանաձևը վերաբերում է շարժման բոլոր ռեժիմներին՝ միայի Հշաման են ենքիակա հաստատունները։

ЛИТЕРАТУРА

- Барееган М. Г. Гидраванческие потери при заминарном режиме пеустановившегося ускоренного движения мидкости. "Испестия АН Арм. ССР (серия Т. Н.)", т. ХХИ, № 2, 1969.
- Інфивіфриб Ч. Г. Труповіріна прина 1963. Опеснян В. М. Гидравлика (на вриявском языке). Ереппи. 1963.

Տեխնիկական գիտուր, սերիա

XXIV, № 6, 1971

Соза технических паук

измерительная техника

г. с. аконян, и. а. набиев

КОДОВЫЙ ПРЕОБРАЗОВАТЕЛЬ ДЛЯ ИЗМЕРИТЕЛЕЙ МОЩНОСТИ

Измерители мощности для антоконтроля с аналого-цифровой выдачей информации на базе стрелочных приборов, несмотря на их известную инерционность, с точки эрения простоты осуществления и экономичности могут представить определенный интерес. Например, первичным измерителем, преобразующим электрическую мощность в угол поворота, может служит любой стрелочный ваттметр класса 0,2; 0,5 и др. Добавлением преобразователя угла поворота и цифровой эквивалент [1, 2] можно преобразовать этот прибор в лиалого-цифровов (АЦИП).

Из существующих методов съема информации в данном случае наиболее приемлемыми могут япляться электромаснитные, емкостные и электронно-оптические, которые не создают нагрузку на чувствительный элемент первичных измерителей.

Исследования [3] показали, что электромагнитные преобразоватеан с использованием явления срыва тока генерации автогенератора с успехом могут быть применены в качестве квантующей пристанки к стрелочным измерителям. В этих случаях в качестве кодирующей маски служит неметаллическая плата, на которой по определенному порилку расположены, струппированные по числу разрядов кода, индуктивные катушки со стержневыми ферритовыми сердечинками, поразрядно подключаемые к колебательному контуру транзисторного LCавтогенератора. На рис. 1 приведена блок-схема такого АЦИП. Макетный образец аналого-цифрового измерителя мощности нами осуществлен на базе трехфазного щитового ваттметра типа A341: неподвижная кодируемая маска расположена на плате шкалы прибора. На стрелке закреплена тонкая металлическая пластина небольших размеров, имеющая длину, равную расстоянно между центрами горцов трех ферритовых сердечников катушек индуктивности, расположенных рядом. Таким образом, пластина в зависимости от места пахождения стредки прибора может перекрыть полностью две или неполностью три сердечника, при этом не касаясь их (завор выбирается в пределах 0,2 = 0,8 мя). В общем случае, и зависимости от требуемой гочности прибора, будет определяться число катушек в группе и число разрядов позиционного кода. Например, ссли шкала прибора имеет 20 делений, как у наттметра Д341 с дискретным расположением, равным 40, с расчета 0,5 делений, то достаточно иметь 21 катушку по три катушки в каждой группе семиразрядного позиционного кода (табл.11. Для этого случая последовательность кодон приведеня в табл. 2.

С перекрытием сердечникой катушех металлической пластиной изменяется их добротность, вследствие чего срывается режим автогеперации, и с выхода автогенератора (рис. 1) на вход формирователя поступает пулской сигнал вместе с тактовыми импульсами мультивибратора.

	Таблица 1	Таблици 2				
Положение птрелки	Kna	Разряд кода	№ № катушек, гоединен- пых в одну группу			
0	0111111	1	1, 9, 18			
1	0011111	2	2, 11, 20			
1)	0001111	3	3. 8. 13			
3	1001111	4	4. 10. 15			
4	1000111	5	5, 12, 17			
		6	6, 14, 19			
	_	7	7. 16. 21			
37:	1011110					
40	1111110					

Если же в группе катушек добротность неизменна (пет перекрытия пластиной ферритов), то срына автогенерации пет и от генератора поступает единичный сигнал. Частота тактовых импульсов мультивибратора, в зависимости от необходимой частоты опроса и получения измерительной информации, может быть от 100 до 800 ш, что и обусловливает скорость поочередного включения и LC-колебательный контур поразрядных групп катушек индуктивности с номощью электронных ключей и диодного коммутатора, запускающихся мультивибратором. В качестве траняисторного автогенератора может быть использована смкостная трехточечная схема Колпитца. Частота генерации в занисимости от конструкции и материалов применяемых металлических пластии, а также катушек индуктивности, может быть выбрана в пределах 150—300 ктш

С пелью опенки механического ваняния высокочастотных электромагнитных полей катушек кодирующей маски на подвижную часть первичного измерителя были проведены экспериментальные исследования. Как показали эксперименты, высокочастотные электромагнятные поля не влияют на точность первичного измерителя. Представляет интерес рассмотрение влияния металанческой основы шкалы на индуктивность и добротность катушек маски, так как при небольших конструктивных заворах может позникнуть взаимная влектромагнитная связь. На рис. 2 приведена упрощенная картина поля и конструктивного расположения катушки кодовой маски, и как пидно, часть магнитного потока 10 пронизывает металлическую плату шкалы, образуя при этом изаимосвязанные цепи катушка-плата. Из-за образования вихревых токов в плате

и их ваняния на основной магнитный поток добротность катушки уменьшится. Если металлическую плату шкалы заменить эквивалентным замкнутым контуром с активным сопротивлением r_a и индуктивностю L_a , то ведичины вносимых сопротивлений будут:

$$\Sigma R_{\rm BH} = \frac{\sigma^2 M^2}{r_{\rm B}^2 + \sigma^2 L_{\rm B}^2} r_{\rm A} \text{ at } \Delta x_{\rm BH} = \frac{1}{r_{\rm B}^2 + \sigma^2 L_{\rm B}^2} - L_{\rm B}$$
 (1)

где «—частота генерации колебаний. Таким образом, изменится и общее сопротивление катушки и с учетом вносимого сопротивления будет:

$$z = 1 \overline{r^2 + (x)^2}$$
, (2)

где

$$r = r + \Delta R + x' - x - \Delta x_{\text{min}}.$$

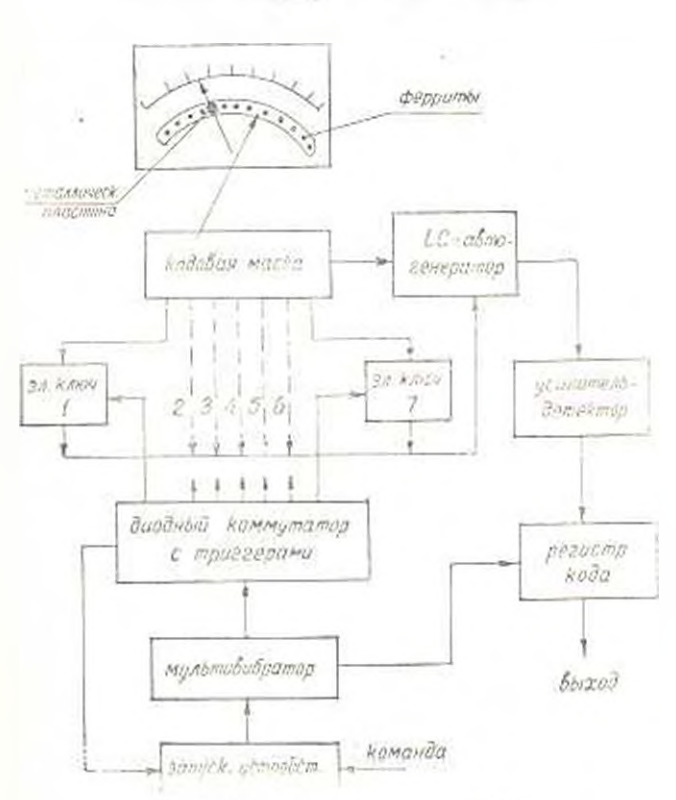


Рис. 1. Структурная схема АЦИП

Величина добротности катушки с учетом упомянутых изменений вараметрон катушки будет

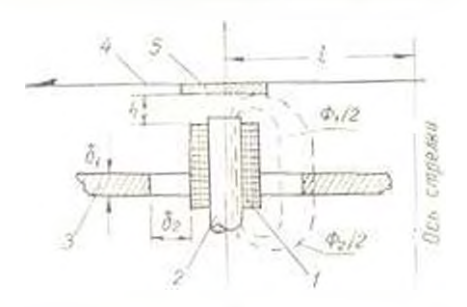
где $Q_i = \omega L_{\mathcal{F}_i}$ лобротность катушки без учета илияния платы.

С целью сравнения относительного изменения добротности катушки индуктивности от изменения расположения катушка-металлическая 2 TH, N=6

155 STEEL SUIT

плата (при различных расстояниях между катушкой и платой шкалы), проведены экспериментальные исследования. Результаты приведены на графиках рис. З. и. как видно, изменение добротности катушки при наличии в ее электромагнитном поле металлической платы шкалы прибора намного меньше, чем при отсутствии.

Условие самовозбуждения LC-автогенератора определяется добротностью катушки индуктивности колебательного контура, величива которой зависит от введения электропроводящей пластины в магнитное поле катушек маски. Поэтому для обеспечения стабильной и надежной работы преобразователя отношение Q_{\min}/Q_0 должно быть возможно меньшим. Как видно из (1), уменьшение, этого отношения возможно уменьшением коэффициента изанмонидукции M между катушкой и металлической плятой прибора. Это можно осуществить двумя путями:



Рас. 2. Расположение катушек на плате: 7-кагунка маски; 2-феррит; 3-плата; 4-указательной стремка; 5-пластинка

— увеличением расстояния λ_1 между катушкой и платой шкалы прибора;

экранировкой катушки от платы шкалы прибора путем размещения между ними ферритовых стержиеньков тех же размеров, что и в самой катушке.

Второй путь представляется более рациональным, так как в этом случае можно установить до двух дламетров ферритового стержия. При этом так же прочеходит увелинение крутивны характеристики O(Q-F(x)), что в свою очередь способствует увеличению отношения сигнал помеха элемента съема дискретный ин пормации.

При построении преобразонателей с формированием сигналов срывом генерации колебании можно считать, что основным является выбор материала иластины, расположенной на стрелке прибора. Как показали эксперименты, при частоте 200—300 мід наилучшие результаты получаются введением в электромагнитное поле катушек иластин из ферромагнитного материала, например, из легированной стали толщиной и 0,1—0,2 мм. Несмотря на небольшие размеры, пластина, находясь на стрелке чувствительного механияма, является дополнительной нагрузкой. В зависимости от конструкции прибора (горизонтальной или вертикальной установки) величина внесенной дополнитель-

ной погрешности будет зависеть от степени балансировки подвижной системы измерителя с учетом веса установленной на стрелке пластины.

Винду того, что вес пластины может быть в пределах 10——15 из и величина действующего на стрелку тангенциального усилия от взаимодействия металлической пластины с высокочастотным полем катушск незначительно, то при определении погрешности измерителя практически ими можно пренебречь.

Как нами экспериментально установлено, изменение величины зазора между пластиной и торцем катушки индуктивности кодирующей
маски за счет биения стрелки влияет на стабильность работы автогевератора. С этой точки эречия выбор величины этого зазора в пределах 0,3 — 0,5 мм при диаметре ферритов 1,5 — 1,8 мл является рациональным. При малых значениях зазора возможно трение пластины о торцы ферритов катушек.

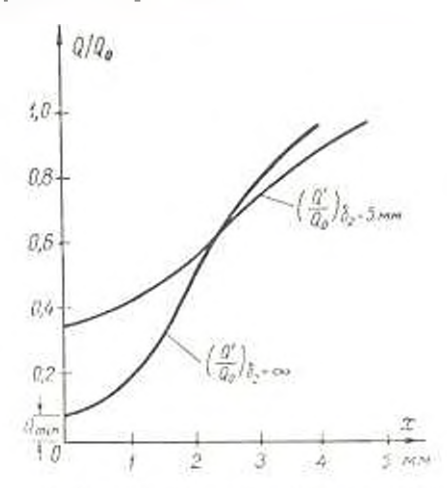


Рис. 3. Кривые добротности при h = 0.3 мм

Кроме обычных паттметров в качестве стрелочного прибора может быть использован также электронный автоматический потенциометр. В этом случае на его вход должно подаваться напряжение постоянного тока, пропорциональное мощности переменного тока. Для преобразования мощности переменного тока в напряжение постоянного тока обычно применяются так называемые первичные статические преобразователи мощности (СПМ). С развитием полупроподниковых приборов широкое применение нашли СПМ на датчиках Холла, полупроводниковых квадраторах, на транзисторах с применением метода время импульсной и амплитудной молуляции и др. [4].

В приборе, описанном в [5], для целей измерения трехфазной мощности использовались датчики Холла, а в качестве яналогового прибора применен автоматический потенциометр типа ГППР—4. На стрелке электронного потенциометра можно закрепить кодовую маску илистальную пластину необходимой толщины. Вариант построения приборов типа AUMI на базе стрелочных ваттмотрон является более простым и обеспечинает достаточно высокую надежность цифроного преобразонате: . Вариант же с применением ем автокомпенсаторов целесообразно использонать, если необходимо имоть управление конгролируемого процесса при помощи появщионных регулягоров.

Ерии, лаинефтехим

Поступная 4.ХП.1970.

4. II. Albinostry, E. II. Valebed

հուժեցին կերպութունը շջումբինցուն ցուժբները շրունե

Underend

Հողվածում դիավում են հղարության դարային չափիչների համար դերփոթը ինդուկցիոն կոների վրա կառ ցված կողային կերպաժախիչի աշխաաանթի յուրա ատկությունները։ Բերված է անայոզա-իվային տարբի բլոկորնահան, ինչպես նաև ժակետային օրինակի փոսծարկումների արդյունըները։

ЛИГЕРАТУРА

- Таланцев А. А. "Антоматиям и теленевинкка", № 3, 1959.
- Гитие Э. Н. Преобразовятеля информации для электропиых цифровых вычислительных устройств. ГЭИ, 1961.
- Набись И. А. Рустамов И. С. Безконтактный подовый преибразователь механическах перомешений. "За тохнический прогреме". № 11, 1966. Баку.
- Бахтирова Т. И., Дельние Г. Н. Измерительные преобразователя мащинств третфилных ценек переменного тока. Сб. статией под ред. А. В. Комплиткой. ОНТИПРИБОР, 1966.
- Акопан Г. С. Приборы с использованием датчинов Холли для автоматического контроля электротехнических взделки. "Электротехника", № 2, 1968.

ЭНГРЕТИКА

Р. А. АМИРИКЯН

ОБ ОДНОМ МЕТОДЕ МИНИМИЗАЦИИ ПОТЕРЬ АКТИВНОЙ мощности в электрических сетях

Постановка задачи. Принимаются заданными: параметры л и ж элементов чети и коэффициенты трансформации вствей, содержащих влемент трансформации; величины активных и реактинных мошноетей нагрузочных уздов; ограничения по активным мощностим генерирующих узлов, включая и балапсирующий, в виде перапенств $P_{k,\mathrm{min}}$ $< P_k \le P_{\text{прид}}$, где k = 1 - p (p—число генераторон); начальный стациоварный режим (Р., 🕼 и соответствующие потери активной мощности (т). Требуется минимизировать величину потерь активной мощности путем перераспределения активных мощностей генерирующих узлов.

Алгорити расчета. Спачала определяется вектор-градиент у $\frac{\Delta^{-}}{\Delta P_{1}}$ - Для этого k-ому генераторвому узлу дается приращение

мощности ΔP_{ν} и проканодится расчет стационараого режима и потерь активной мощности (в) при условки постоянства вктивных мощностей в остальных теперирующих узлях, кроме балансирующего [1]. Оченидпо, что приращение 2 1/4 вызывает измен ние всех зависимых нараметров уравнени. Рессиятриваемой системы, которые и свою очередь соответствующим образом илияют на величину потерь. Следовательно, отношение 4 п/4 Г т. с. приближенное значение частном производной потерь активной мощности по изменению активной мощности k-го генерирующего узла, определяется с учетом илияний всех переменных величии уравнений системы. Точность определения на ЦВМ частных производных потерь от активкой мощиости указанивы способом зависит от величным приращения актяпной мощности А 📇 Исследования показали, что величина приращения аргумента (а 🦳 обеспечинающая наиболее точное определение частной пронанодной в зависимости от самого аргумента, зависит от формы минимизируемов зависижость величины потерь от мощности отдельных генерирующих узлов при фиксации величии мощностей по всех остальных учлах имеет вид. банзкий к параболической функция. В частности, для таких функций, как показали исследования и апилив проведенных расчетов, частная производная от потерь активной мощчости наиболее точно может быть

определена на ЦВМ при выборе приращения мощности по формуле $\Delta P_{k} = |c|P_{k}|$. Относительно хорошие результаты получились при c = 0.4. Таким образом, для выбора неличины приращения мощности при расчете частных производных на ЦВМ рекомендуется формула

$$\Delta P_k = 0.63 \mid \overline{|P_k|}, \tag{1}$$

обеспечивающая нахождение частных производных, исличины которых практически совпадают с величинами частных производных, определенных точными формулами [2]. В отличие от обыкновенного градиентного метода частная производная $2\pi/4P_C$ определяется только для тех случаен, когда приращение потеры от положительного или отрицательного приращения мощности $2P_1'$ получается отрицательным (т. е. $\Delta\pi < 0$). В противном случае рассматриваемый генерирующий узел исключается от участия в перераспределении мощностей на данном этапе минимизации потерь.

Описанный выше анализ производится для всех генерирующих узлов. На даниом этапе минимизации потерь в перераспределении мощностей не участвуют также те генерирующие узлы, для которых $\left| \frac{\Delta \pi}{\Delta P_k} \right| < \varepsilon$, ибо считается, что при этом рассматриваемый генератор работает в относительно оптимальном режиме. Здесь ε — заранее пыбравное маленькое число, определяющее точность расчета. В наших расчетах принято ε = 0,003.

Прежде чем дать положительное или отрицательное прирашение мощности k-го генерирующего узла, проверяется условие:

а) при положительном приращении
$$P=P_{k \text{ mix}}$$
, (2) б) при отримательном приращении $P=P_{k \text{ min}}$.

Если условия (2) не выполняются, то мощности рассматриваемого генерирующего узла сотистствующее приращение не дается, и этот генератор на данном этапе минимизации потерь так же не участвует и перераспределении активных мощностей. Заметим, что частные производные от потерь активной мощности для всех генерирующих узлов определяются для одного и того же исходного режима. Предполагая, что генераторы, участвующие в перераспределении актипных мощностей на данном этапе минимизации потерь, заменяются одним эквивалентным генератором, можно писать следующее рапенство относительно сред-

них эначений градиентон

$$\frac{\sum_{1} |\Delta \pi|}{\sum_{1} |\Delta P_{\pm}|} = \frac{1}{n} \sum_{k=1}^{r} \left| \frac{\Delta \pi}{\Delta P_{\pm}} \right|$$
 (3)

Здесь $k \neq l$ и $k \neq l$, где l—номер балансирующего узла; l—помера тех генерирующих узлов, которы е на дашном атапе минимизации потерь

ие участнуют в перераспределении активных мощностей, а n—число генераторов, участнующих на данном этапе в перераспределении мощностей. Равенство (3) булет правильным лишь тогда, когда отношения $\Delta \pi/\Delta P$ приведены к общему знаменателю. Из равенства (3) определя-

ется приращение мощности $\sum_{k=1}^{r} |P_k|$, которое необходимо дать рас-

сматриваемой системе (акиналентному генератору), чтобы получить тот эффект минимизиции потерь активной мощности, который получится, если каждому генератору дать приращения $^{\Delta}P_{\rm e}$, определенные по формуле (1), т. е.

$$\sum_{i=1}^{n} |\Delta P_i| = \frac{\sum_{i=1}^{n} |\Delta \pi|}{\frac{1}{n} \sum_{k=1}^{n} \left| \frac{\Delta \pi}{\Delta P_k} \right|} \cdot (k \neq \delta; k \neq l)$$
 (4)

Отсюда определяется величина градиентного шага. Для получения большего эффекта необходимо величину градиентного шага взять большей, но чрезмерное унеличение этого шага может привести к отрицательному эффекту. На основе проведенных исследований для выбора величины градиентного шага рекомендуется следующая формула:

$$|\Delta P| = n \sum_{i} |\Delta P_{i}| \quad \text{ham} \quad \Delta P = \frac{1}{n^{2} \left| \frac{\Delta \pi}{\Delta P_{i}} \right|}$$

rae k + 4; k = 1.

Доля приращения мощности каждого генераторного узла определяется так:

$$\frac{\Delta P_{k} - \Delta P}{\sum_{k=1}^{r} \Delta z} = \frac{\sum_{k=1}^{r} \Delta z}{\left(\frac{1}{n} \sum_{k=1}^{r} \left| \frac{\Delta \pi}{\Delta P_{k}} \right| \right)^{2}} \cdot \frac{\Delta \pi}{\Delta P_{k}}, \quad (k \neq 5; \quad k \neq l) \tag{6}$$

Таким образом, мощность каждого генерирующего узла на t-1 шаге итерации определяется как

$$P^{t+1} = P^{t-1} \Delta P^{t} \tag{7}$$

с обязательным соблюдением условий ограничения по мощности как для каждого k_1 так и для балансирующего узла, т. е.

$$P_{kmin} \leqslant P^{-1} - P_{kmin} \tag{8}$$

$$\left|\sum_{k=1}^{r} \Delta P_{k}\right|_{\Delta P_{k} = 0} \leq P_{\Delta \max} - \left(P_{k}^{l} - \sum_{k=1}^{r} \Delta P_{k}\right)_{\Delta P_{k} > 0} + |\Delta \pi|_{\max} = A; \tag{9}$$

$$\left|\sum_{k=1}^{r} \Delta P_{k}\right|_{\Delta P_{k} > 0} \ll \left(P_{k}^{i} - \sum_{k=1}^{r} \Delta P_{k}\right)_{\Delta P_{k} < 0} - P_{\min} - |\Delta \pi|_{\alpha, \epsilon} = B, \quad (10)$$

 $(k \neq i; k \neq l)$

где $\Delta \tau_{\rm osc}$ ожидаемое снижение потерь в результате минимизации. Так как заранее невозможно определить величину Ares, то рекомендуется брать да = 0,1 = . Это практически пыполняется уменьшением Р. та и увеличением P_{min} на величину 10^{v_0} от π . В случае пособлюдения условия (8) взамен $P_{\rm L}^{l}$, подсчитанной по формуле (7), берется грапичное значение ($P_{k_{\min}}$ или $P_{k_{\min}}$). В случае несоблюдения условия (9) или (10) производится коррекция приращений мощностей ΔP_{i} соответственно по формулам:

а) Для отрицательных приращений мощпостей

$$\Delta P_{k-kep} = \frac{\Delta P_k}{\left|\sum_{k=1}^{r} \Delta P_k\right|} A_s \qquad (11)$$

где $k \neq i$ и $k \neq l$ и k не раппястся комером тех узлов, для которых $\Delta P_k > 0$:

6) Для положительных прирациений мощностей

$$\Delta P_k = -\frac{\Delta P}{\sum_{k=1}^{n} \Delta P_k} B_i \tag{12}$$

тае $k \neq \delta$; $k \neq l$ и k не ранияется помером тех узлов, $\Delta P_k < 0$.

После определения величин новых значений мощностей отдельных генерирующих увлов производится расчет стационарного режима и потерь активной мошности. Расчет считается законченным, когда -витяя то адетои онидовеноди емитолу нолеу хишогудидения кол ной мощности получаются меньшими или раппыми заранее задавному числу - или же когда балансирующий или все остальные генераторы работнот предельными (P_{max} или P_{enn}) мощностями.

Результаты расчетов, выводы. В табл. 1 иллюстрирован начальный стационарный режим и результаты расчетол минимизации потерь

			Узам (к)									
	Варианты, режимы		Генераторы				Нагрузки				Потери	
			7	2	3	4	5	6	7	8	ватив- ные (МВт)	реак- типпые (Мяр)
0	Начальный режим	Paa E. Unu PMBm QMap	-0,522 251,0 157,8 138,1	-0,754 256,5 -54,6 137,4	0 259,0 259,9 177,6	0,027 227,0 418,0 87,3	$\begin{array}{c} -0.635 \\ 220.0 \\ -229.9 \\ -79.5 \end{array}$	-0.694 229.0 -116.9 -57.7	-9,390 223,1 64,7 -32,4	$\begin{array}{c} -0.208 \\ 211.0 \\ -322.8 \\ -81.2 \end{array}$	45,8	279,6
	Ограничения	$P_{\min} \ P_{\min}$	180 130	- 10 70	355 195	450 360		=			37,2	141,9
1	Результаты решения	\$ рад Е, U ка Р МВт О Мар	-0,347 251,0 180,0 108,0	-0,555 266,5 -10,0 107,9	0 259,0 234.5 135,6	-0,024 227,0 360,0 50,2	-0,492 226,7 -229,9 -79,5	-0,51 229,3 -116,9 -57,7	-0,251 $231,4$ $-64,7$ $-33,4$	$\begin{array}{r} -0,224 \\ 215,6 \\ -322,8 \\ -81,2 \end{array}$		
*	Ограничения	P_{\min}	250 130	-10 -70	355 145	460 259	=			-	21.4	
П	Результаты решения	1 рад Е, U ко Р МВт Q Мар	0,238 251,0 238,3 108,1	-0,528 266,5 10,0 102,7	0 259,0 277,4 137,9	-0,240 227,0 250,0 35,4	-0,440 227,7 -229,9 -79,5	-0,514 231,1 -116,9 -67,7	-0,305 234,2 -64,7 -32,4	-0.371 218,1 -322,8 -S1,2		129,8

активной мощности для одной объединенной энергосистемы, эквивалентированной до носьминолюсияка. Пример расчета выполнен для двух вариантов ограничения активных мощностей генерирующих узлов, включая и балансирующий узел. В качестве балансирующего принят третий узел. Заметим, что в этом примере ограничения по реактивным мощностям генерирующих узлов и по напряжениям нагрузочных узлов не ставились. Напряжения генерирующих узлов считались строго заланными. Расчеты выполнены на ЦВМ "УРАЛ-З" программой, реализующей предлагаемый алгоритм. Анализируя результаты расчетов, приведенные в табл. 1, можно сделать следующие выводы.

- 1. В первом варианте расчетон потери активной мощности уменьшаются до 30,2 МВт. Дальнейшее уменьшение потерь активной мощности прекращается из-за ограничения, наложенных на мощности генераторов 1. 2 и 4.
- 2. Во втором варианте расчетон из-за упеличения пределов мощностей, развиваемых генераторами I и I, потери активной мощности уменьшаются до 21.4~MBm, т. с. уменьшается более, чем на $50^{\circ}_{\circ 0}$ от первоначальных потерь. Дальнейшее уменьшение потерь активной мощности прекращается, так как генераторы 2 и I работают предельными мощностями, а генератор I работает и режиме, когда приращение его мощности (независимо от знака приращения) приводит к увеличению потерь активной мощности.
- 3. С уменьшением потерь активной мошности как и следовало ожидать, уменьшаются также потери реактивной мощности и улучшаются условия работы системы по напряжению.

Время решения задачи на ЦВМ "УРАЛ-3" рассмотренного примера составило 3 мин 24 сек при Гварианте и 10 мин 30 сек — при II варианте. В составленной программе использована программа расчета стационарных режимов, разработанная в АрмНИИЭ [3].

АрмНИИЭ

Поступнае 12.Х1.1970

Ռ. Հ. ԱՄԻՐԻԿՅԱՆ

ԷԼԵԿՏՔԱԿԱՆ ՑԱՆՑԵՐՈՒՄ ԱԿՏԻՎ ԿՈՐՈՒՍՏՆԵՐԵ ՄԻՆԵՄԻԶԱՑԻԱՅԻ ՄԻ ՄԵԹՈՐԻ ՎԵՐԱԲԵՐՑԱԼ

Ամփոփում

Դիտվում է ակտիվ հղորության կորուստների մինիմիզացիայի խնդիրը դեներացնող հանդույցների ակտիվ հղորությունների վերաբաշխման ուղիով հաչվի առնելով սահմանափակումներն ըստ ակտիվ հղորությունների ծնդիրը լուծվում է զրադիննաների և ամենաարագ իջեցման մեքիոդների հիման վրա հռաջարկված է ալդորիթեն, որի հիմնական առանձնահատկություններից մեկ այն է, որ հնարարվոր է նրա օգտագործումը (ոչ մեծ փոփոխություններ ժացնելուց Տետո) էներգանամակարդի ռեժիմների կոմպլերմային օպտիմիդայման խնդրում՝ հաշվի առնելով ակտիվ Հզորության կորուսաները նրա ցանցերում։ Տրված է խնդրի լուժման օրինակ մի միավորված Լներգահամա. կարդի նամար, որը բերված է ը = 8 համարժեր բազմաբնեռակի տեսրի։

JHEFFATYPA

- 1. Шаханов В. С. Мотод и алгориты вычисления частных производных электрических потерь в слояных остях внергосистем на электронных цифровых машинях. "Электричество", № 12, 1960.
- Алонц Г. Т. Исследовани двух алгоритмов расчета частных производных от потерь активной и реактивной мощности по параметрам режима впергосистечы. "Известия АН Арм. ССР (серия Т. Н.)", т. XXII, № 6, 1969.
- Атони Г. Т. Алгоритм расчета установившегося режима энертосистемы с учетом пелинейных характеристик гонораторов и нагрузов "Электричества", № 3, 1970.

XXIV. No 6, 1971

- XHIUTECKIIN HAVK

ЭНЕРГЕТИКА

г. а. бурначян

ХЫНЖОЛО ! ЫТОЗАЯ ВОМИЖЭЯ RNIIAENMUTПО ОСТ — АН О МЭТОИООГЯНЕ

Задача выбора оптимального суточного режима работы НА ГЭС в сложной энергосистеме, состоящей из т геплостанций и и гидростанций, исходя из критерия минимума расхода условного топлина, сводится к обычной париационной задаче на безусловный экстремум [1, 2], где отыскинается минимум некоторого функционала

$$J = \begin{cases} \frac{t_k}{k} & \text{if } V_n(t) = \frac{t_k}{k} \\ \sum_{i=1}^{n} J_{i-i}(t) & \text{if } V_n(t), V_n(t), V_n(t) \end{cases} = \begin{cases} \frac{t_k}{k} \\ \sum_{i=1}^{n} J_{i-i}(t) & \text{if } V_n(t), V_n(t), V_n(t) \end{cases}$$
(1)

с граничными условиями:

a)
$$V_{ij}(t_0) = 0$$
; $V_{ij}(t_k) = V^3$, $j = 1, 2, \dots, n$,
6) $V_{ij}(t_0) = 0$; $V_{ij}(t_k) = V_{ij}^3$ (2)

rae

$$\sigma_{I} = \sum_{i=1}^{n} P_{ii} \left(V_{II}, V_{ri} \right) \pm P_{II} \left(V_{Hi}, V_{I} \right) - P_{II} - \Delta P = 0;$$
 (3)

$$V_{n} = \frac{dV_{n}}{dt} - q_{n} - Q ; V_{n} = \frac{dV_{n}}{dt} = q_{n} - Q_{n}$$
 (4)

В пыражениях (1) — (4)

 B_i часовой расход условного топлива на i-ой теплостанции;

4 переменный по времени множитель;

 P_{γ_i} , P_{γ_i} — соотнетственно нагрузки i-ой теплостанции (i=1,2,...,m) и j-ой гидростанции (j=1,2,...,n);

Р_п нагрузка НА ГЭС (знак плюс соответствует циклу разряда, а минус заряда):

 P_{γ} , ΔP — соответственно нагрузка энергосистемы и потери в диниях электропередач:

 $P_{+_1} | V_{+_1} | V_{-_2}$ соответственно векторы с компонентами $(P_{+_1}, P_{+_2}, \dots, P_{+_n})$:

 q_1,Q_1 соответственно векторы с компонентами $(q_{11},q_{12},\dots,q_{rd})$ и (Q_1,Q_1,\dots,Q_r) представляющие притоки в водохранилища и расходы через турбины гидростанций системы.

q_n — боковая приточность в верхнее водохранилище НА ГЭС;
Q_n — расход воды на НА ГЭС (знак плюс соответствует циклу заряда, а минус разряда);

 V_{rf}^{s} V_{n}^{s} соотнетственно используемые в течение цикла регулиронания $(t_{k}-t_{0})$ объемы воды на 7 ГЭС и на НА ГЭС.

Кривые, реализующие экстремум рассматринаемого функционала, как известно, должны удовлетнорять дифференциальным уравнениям Эйлера-Лагранжа, которые применительно к рассматриваемой задаче могут быть записаны в следующем виде:

$$\frac{\partial B_{i}}{\partial P_{i}} = \log \left[1 - \frac{\partial \Delta P}{\partial P_{i,i}} \right] = 0; \quad j = 1, 2, \cdots, n$$

$$\left(1 - \frac{\partial P_{i}}{\partial P_{i,i}} \right) \frac{\partial V_{i,j}}{\partial V_{i,j}} = \frac{\partial I}{\partial I} \left[- \frac{\partial P_{i,j}}{\partial P_{i,j}} \right] \frac{\partial P_{i,j}}{\partial V_{i,j}} = 0.$$

$$\left(1 - \frac{\partial P_{i,j}}{\partial P_{i,j}} \right) \frac{\partial P_{i,j}}{\partial V_{i,j}} = 0.$$

Если полученную систему $m \to n-1$ уравнений дополнить уравнением (3), то число уравнений достаточно для определения $m \to n-2$ неизвестных функций $P_{(1,\dots)}, P_{(m)}, P_{(1,\dots)}, P_{(m)}, P_{(n)}, P_{(n)}$ а граничные условия

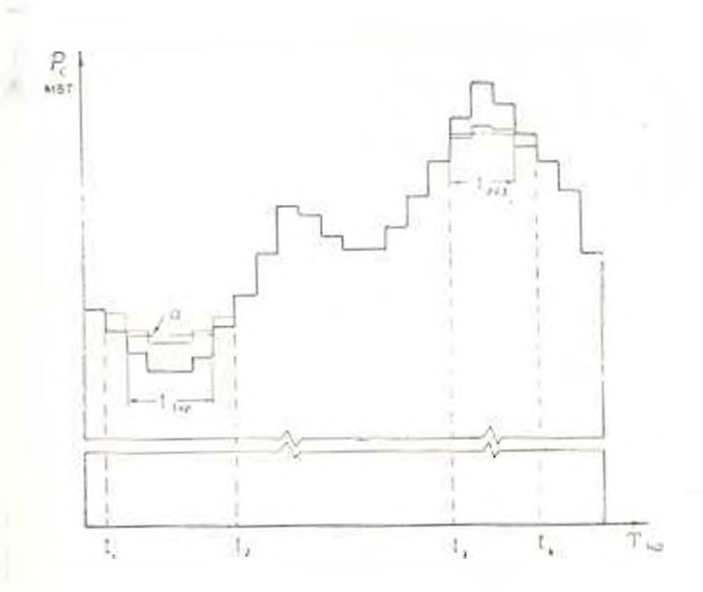


Рис 1.

для ГЭС и НА ГЭС (соответственно в циклах заряда и разряда) дают возможность определить 2n-4 произвольных постоянных в общем решении системы ураннений Эйлера-Лагранжа.

Но поскольку моменты времени t_1, t_2, t_3, t_4 (рис. 1), в которых

выполняются граничные условин для НА ГЭС, заранее псизвестны ввиду спойственной ей цикличности работы и нозможности использования заданного объема воды при разных продолжительностях циклон заряда и разряда, то данная задача относится к более широкому классу вариационных задач с подпижными границами. В этом случае четыре недостающие условия для определения произвольных постоянных общего решения уранисний Эйлера-Лагранжа могут быть получены из условий трансверсальности, которые соотпетственно для циклов заряда и разряда в развернутом виде записываются так.

$$\left| \sum_{i=1}^{m} B_{i} - i_{i} (q_{ii} + Q_{ii}) \left(1 - \frac{\partial P_{ii}}{\partial P_{ii}} \right) \frac{\partial P_{ii}}{\partial Q_{i}} \right|_{i=t_{i}}^{t_{k}-t_{i}} + \frac{\lambda_{i}}{\epsilon} \left(1 - \frac{\partial P_{ii}}{\partial P_{ii}} \right) \frac{\partial P_{ii}}{\partial Q_{i}} \right|_{i=t_{i}}^{t_{k}} \delta |V = 0 - \frac{1}{\epsilon} \left(1 - \frac{\partial P_{ii}}{\partial P_{ii}} \right) \frac{\partial P_{ii}}{\partial Q_{i}} \right|_{i=t_{i}}^{t_{k}-t_{i}} + \frac{1}{\epsilon} \left(1 - \frac{\partial P_{ii}}{\partial P_{ii}} \right) \frac{\partial P_{ii}}{\partial Q_{ii}} \right|_{i=t_{i}}^{t_{k}-t_{i}} + \frac{1}{\epsilon} \left(1 - \frac{\partial P_{ii}}{\partial P_{ii}} \right) \frac{\partial P_{ii}}{\partial Q_{ii}} \right|_{i=t_{i}}^{t_{k}-t_{i}} + \frac{1}{\epsilon} \left(1 - \frac{\partial P_{ii}}{\partial P_{ii}} \right) \frac{\partial P_{ii}}{\partial Q_{ii}} \right|_{i=t_{i}}^{t_{k}-t_{i}} + \frac{1}{\epsilon} \left(1 - \frac{\partial P_{ii}}{\partial P_{ii}} \right) \frac{\partial P_{ii}}{\partial Q_{ii}} \right|_{i=t_{i}}^{t_{k}-t_{i}} + \frac{1}{\epsilon} \left(1 - \frac{\partial P_{ii}}{\partial P_{ii}} \right) \frac{\partial P_{ii}}{\partial Q_{ii}} \right|_{i=t_{i}}^{t_{k}-t_{i}} + \frac{1}{\epsilon} \left(1 - \frac{\partial P_{ii}}{\partial P_{ii}} \right) \frac{\partial P_{ii}}{\partial Q_{ii}} \right|_{i=t_{i}}^{t_{k}-t_{i}} + \frac{1}{\epsilon} \left(1 - \frac{\partial P_{ii}}{\partial P_{ii}} \right) \frac{\partial P_{ii}}{\partial Q_{ii}} \right|_{i=t_{i}}^{t_{k}-t_{i}} + \frac{1}{\epsilon} \left(1 - \frac{\partial P_{ii}}{\partial P_{ii}} \right) \frac{\partial P_{ii}}{\partial Q_{ii}} \right|_{i=t_{i}}^{t_{k}-t_{i}} + \frac{1}{\epsilon} \left(1 - \frac{\partial P_{ii}}{\partial P_{ii}} \right) \frac{\partial P_{ii}}{\partial Q_{ii}} \right|_{i=t_{i}}^{t_{i}} + \frac{1}{\epsilon} \left(1 - \frac{\partial P_{ii}}{\partial P_{ii}} \right) \frac{\partial P_{ii}}{\partial Q_{ii}} \right|_{i=t_{i}}^{t_{i}} + \frac{1}{\epsilon} \left(1 - \frac{\partial P_{ii}}{\partial P_{ii}} \right) \frac{\partial P_{ii}}{\partial Q_{ii}} \right|_{i=t_{i}}^{t_{i}} + \frac{1}{\epsilon} \left(1 - \frac{\partial P_{ii}}{\partial P_{ii}} \right) \frac{\partial P_{ii}}{\partial Q_{ii}} \right|_{i=t_{i}}^{t_{i}} + \frac{1}{\epsilon} \left(1 - \frac{\partial P_{ii}}{\partial P_{ii}} \right) \frac{\partial P_{ii}}{\partial Q_{ii}} \right|_{i=t_{i}}^{t_{i}} + \frac{1}{\epsilon} \left(1 - \frac{\partial P_{ii}}{\partial P_{ii}} \right) \frac{\partial P_{ii}}{\partial Q_{ii}} \right|_{i=t_{i}}^{t_{i}} + \frac{1}{\epsilon} \left(1 - \frac{\partial P_{ii}}{\partial P_{ii}} \right) \frac{\partial P_{ii}}{\partial Q_{ii}} \right|_{i=t_{i}}^{t_{i}} + \frac{1}{\epsilon} \left(1 - \frac{\partial P_{ii}}{\partial Q_{ii}} \right) \frac{\partial P_{ii}}{\partial Q_{ii}} \right|_{i=t_{i}}^{t_{i}} + \frac{1}{\epsilon} \left(1 - \frac{\partial P_{ii}}{\partial Q_{ii}} \right) \frac{\partial P_{ii}}{\partial Q_{ii}} \right|_{i=t_{i}}^{t_{i}} + \frac{1}{\epsilon} \left(1 - \frac{\partial P_{ii}}{\partial Q_{ii}} \right) \frac{\partial P_{ii}}{\partial Q_{ii}} \right|_{i=t_{i}}^{t_{i}} + \frac{1}{\epsilon} \left(1 - \frac{\partial P_{ii}}{\partial Q_{ii}} \right) \frac{\partial P_{ii}}{\partial Q_{ii}} \right|_{i=t_{i}}^{t_{i}} + \frac{\partial P_{ii}}{\partial Q_{ii}} \right|_{i=t_{i}}^{t_{i}} + \frac{\partial P_{ii}}{\partial Q_{ii}$$

В такой строгой постановке непосредственное решение рассматриваемой задачи в аналитическом виде вряд ли поэможно, особенно, если учесть, что оптимальные управления могут иметь разрывы первого рода. Поэтому ниже излагается способ назначения оптимальных режимов работы НА—ГЭС в сложной энергосистеме с учетом продолжительности циклов заряда и разряда, основанный на численном решении ураннении Эйлера-Лагранжа.

Из уравнений (5), приняв напоры на ГЭС и гидроаккумулирующей станции постоянными, после несложных преобразований получим:

$$\frac{b_{l}}{1 - \frac{\sigma_{L}P}{\partial P_{vl}}} = i_{l} \frac{q_{l}}{1 - \frac{\sigma_{L}P}{\partial P_{vl}}} = i_{l} \frac{q_{u}}{1 = \frac{\sigma_{u}P_{vl}}{\partial P_{w}}}$$
(7)

где $b_i = \frac{\sigma P_i}{\sigma P_{il}}$, $\sigma_l = \frac{\sigma O_i}{\sigma P_i}$, $q_i = \frac{\sigma Q_i}{\sigma P_{il}}$ соответственно относительные приросты i-ой теплостанции, j-ой гидростанции и HA-I ∂C ;

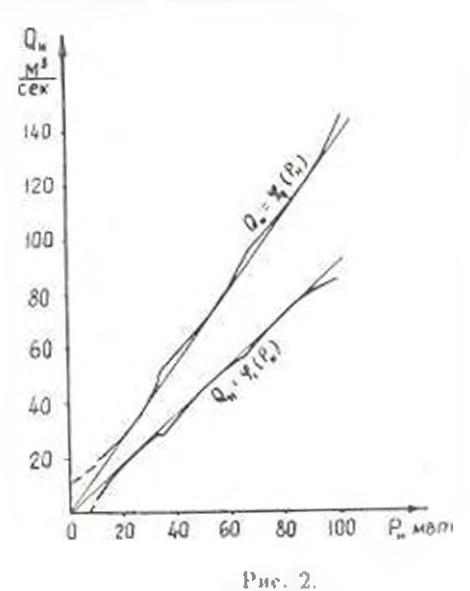
относительные приросты потерь активной мощности и линиях

электропередачи;

ж_и ле постоянные в течение цикла регулирования множители.

Ураннение (7) представляет собой условие оптимального режима работы станций энергосистемы. Используя полученное условие, а также (2) и (3) рассмотрим последовательность расчетов по назначению оптимального режима работы станций системы с одновременным выбором оптимальной продолжительности циклов разряда и заряда НА--ГЭС.

Проведем из начала координат (рис.2) прямую, касательную к расходной характеристике НА ГЭС Q_{i} — $\varphi_{1}(P_{0})$ в насосном режиме работы. Эта прямая, выражая зависимость Q_{0} от P_{0} , позволяет определить величину средней удельной подведенной мощности $P_{0,1}^{i}=P_{1}$ одля подкачки 1 M^{2} воды в единицу времени. По P_{0} определяется величина средней удельной подведенной энергии Mвич для подкачки 1 M^{2} воды. Умножив величину псобходимого объема воды, перекачиваемого из нижнего бассейна в верхний (V_{0}^{i}), на значение средней удельной подведенной энергии, получим общее количество энергии в Mвич для подкачки всего объема воды, т. е. эпергию заряда ∂_{1} . Вливая полученную энергию в пронал графика нагрузки по прямой (a) (рис. 1) с соблюдением условия 0 P_{0} P^{max} , получим некоторую продолжительность периода заряда I — Аналогичным образом устанавливается продолжительность периода разряда I_{poi} .



Допуская такую конфигурацию сети, потери в которой можно учитывать соответствующими коррективами в характеристиках относительных приростов станций, строим эквивалентную расходную характеристику и характеристику относительных приростов теплоной подсистемы. Задаваясь некоторыми значениями коэффициентов κ , r_0 и имея продолжительности циклов заряда и разряда, согласно условию (7) по часовым интервалам определяем значения $P_{r_0}(j=1,2,\cdots,n)$ и P_n . При этом для периода заряда P_0 будем иметь одни значения, а для

периода разряда другие. Значения коэффициента для обоих циклов могут быть как одинакоными (предельный случай), так и различными и зависимости от ежкости нерхнего нодохранилица [2]. Имея часовые значения P и P_n для обоях пиклов работы НА ГЭС, по расходным характеристикам ГЭС и НА ГЭС определяем часовые, а затем суточные объемы использованной воды и сопостанляем соотяетственно с V_n^* и V_n^* . Если полученные для ГЭС значения объемов воды V_n^* больше (или меньше) заданных то коэффициенты V_n^* соответственно увеличиваем (или уменьшаем). Если полученное для НА ГЭС в цикле заряда значение объема воды больше (или меньше) заданного V_n^* то коэффициент соотпетственно уменьшаем (или увеличиваем). Корректирование коэффициентя для цикла разряда выполняется как для ГЭС.

Имея скорректированные значения указанных коэффициентов, в нышеизложенной последовательности вновь определяются $P_{\rm c}$ и $P_{\rm u}$ (для той же продолжительности зиклов заряда и разряда) и подсчитываются новые значения суточных объемов поды, которые сопоставляются с заданными. Этот процесс расчета продолжается до получения необходимого соответствия между полученными и заданными величинами объемов воды, т. с. до выполнения конечных условий (2). После этого, имея $P_{\rm c}$ и $P_{\rm c}$, определяется мощность эквивалентной тепловой станции и по ней расход топлина по системе. Конкретные расчеты показали, 1то выбор оптимального режима системы при наличии в ней кроме тепловых станций трех ГЭС и НА - ГЭС (при принятой продолжительности циклов заряда и разряда) посредством подбора коэффициентов ℓ можно осуществить в процессе трех-четырех итераций.

Дальнейший процесс решения поставленной задачи сводится к следующему. Продолжительность циклов заряда и разряда соответственно увеличивая на 1 час, снова выполняем несь расчет и полученное значение расхода топлива по системе сопоставляем с предшествующим. Если в этом случае расход 'топлива по системе уменьнается, то снова увеличиваем продолжительность циклов и расчет производим до тлх пор, пока расход топлива увеличивается. В таком же порядке яыполияем расчеты при уменьшении продолжительности циклон заряда и разрида.

Обычно такие расчеты выполняются при нескол ких значениях продолжительности циклов заряда и разряда (2—4), так как не могут иметь место большие отклонения от первоначально определенного среднего значения. Оптимальным будет то значение продолжительности циклов заряда и разряда, при котором расхед топлина по системе принямает наименьшее значение. При этом, как нидно, в процессе решения одновременно получаем и оптимальный режим работы станций системы.

Предложенная методика легко может быт реализована на ЭВМ и даст возможность оптимизацию режима работы НА ГЭС в сложной

ваергосистеме пыполнить с одновременным учетом оптимальной продолжительности циклов заряда и разряда. Она в рапной мере может быть использована и в проектной практике для обоснованного выявления затрат по топливной составляющей связанных с пключением НА - ГЭС в энергосистему.

ЕНИНицА

Hos rymnass 14 IV 1971

2. U. PHEDVALDARIA

ՔԱՐԴ ԷՆԵՐԱՀԱՐԱԿԱՐԳԵՐԻ ԱՇԽԱՏԱԽՔԻ ՌԵԺԵՍՆԵՐԻ ՕՊՏԻՄԱԼԱՑՈՒՄ ՊԿ—ՀԷԿ-Ի ԱՌԿԱՅՈ**Ր**ԹՅԱՄԲ

lk if dendenced

արկանում "ամակարդերում ՊԿ աշխատանքի օպտիմալ ոեժիմի ընտրման խնդիրը, թանի որ ՊԿ— նատուկ է աշխատանթի ցիկլիկ ընտւյքը, դիտվում է որպես վարիացիոն իւնդիր՝ արժ ող սա մնանհերով։ Ելնելով այդպեսի դրվածթից, ստացված են այն ան րաժեշտ պայմանհերը, որոնը քիույլ տալիս օպտիմալացենլ ԿԿ— աշխատանքի ռեժիմը, միաժամանակ ընտրելով լիցլավորման և լիցբաք ան երկաթատևությունը։ Տրված է լուծման մեկիորիկան։

JUSTEPATYPA

- Гориштейн В. М. Наизмеодиейске режимы работы гидро-гинций в внергетических системых Госинергомадат, 1959.
- Бурначян Г. 1. Такившей эффект НА ГЭС при оптимальном режиме работы, Со. "Вырявинявине графиков нагрузан эвергетических систем и выбор типа васктростанций для поврытия инковых нагрузов" Изл. "Наука". М., 1968.

SHEPTI HKA

Coppe transmission said

P. P. OBAKSMEH

ОПТИМИЗАЦЕЯ ВНУТРИСТАНЦИОННЫХ РЕЖИМОВ ГЭС ПРИ НАЛИЧИИ ГРУППОВОГО РЕГУЛИРОВАНИЯ

запиределение и грузки между агрегатыми на гидростанции получистия рависмерным, стои от рестические характеристики агрегатов однотивны и имеют в по но возрастающий характер. Однако о некоторых слушто от поможение в совершени о инпакоными аврактеристии ми не всегда равномерное раз гределение является оптинальным [1]. Кат похавано и кривые потеры и гидропретать на векотор. ГЭС в определеных зонах имеют лочку перегиба (исплужно и претатов правиской позраст щиеми функцияма.

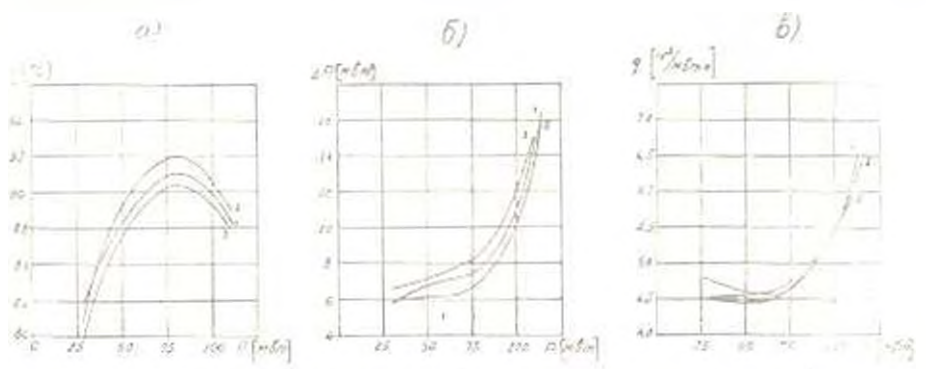


Рис. 1. Кривые заплевмости: а к.п.д. агрегата от нагрузки; 6- потеры мощности перегата от нагрячия; в относительных приростов от коггу к...

Чем же обусловлено вламчие выпукло-вогнутых вон в кривых P(P)? Для выяснения этого вопроса рассмотрим несколько велисимостей $\gamma(P)$ (рис. 1, α). Причем, в качестве исходной ваята кривля I [1], а кривые Z и J получены некоторым ее смещением виерх в вкиз. Используя эти кривые, посмотрим соответствующие им зависимости $\Delta P(P)$ (рис. 1, δ). Из рисунка видно, что кривым $\gamma(P)$, вмеющим вполне реальный характер, соответствуют различные формы: кривых $\Delta P(P)$. Следовательно, зависимости $\Delta P(P)$ могут быть как строго вогнутыми функциями, так в с точкой перегиба. Значит, форма кривых $\Delta P(P)$ предовределена характером кривых к.п.д. Тем не менее, на-

анчие выпукло-вогнутых зом в кривых P(P) требует более основательного исследования для дальнейшего выявления физической сущности вопроса. Такой характер зависимости $\Delta P(P)$ приводит к тому, что характеристики относительных приростов q(P) эгрегатов Грис. 1, g) являются не монотошю возрастающими функциями.

Исследования, проведенные нами на примере Волжской ГЭС вмени XXII съезда КПСС, приавали реальность таких уарактеристик. Наличее выпукло-поглутых доя в $\Delta P(P)$ подтверждено испытаниями на этой ГЭС НИСом Гидропроекта.

Суми, нагр. Рг., Мет Напор Н. м		0.50			905			F240		
								22,5		
		portun.		вырани.	dan ina.	anthan.	вырави. нагр.	OKT H V.	antny.	usipann. nach.
		1	2	3	4	5	6	7	8	9
	1 2	_	=	=	65	87,3	87,3	75	311	30
No No asparator	34 4 6	90 90 70	35 35 35	61,5 61,5 61,5	65 105 75 70	87.3 87.3 87.3 87.3	87,3 87,3 87,3 87,3	80 90 75 75	79.3 79.3 79.3 79.3	79.3 79.3 79.3 79.3
	7 8 9 2 10 11 m	45 55 — 60	35 35 35	56,2 56,2 56,2	40 40 30 45	30 30 30 30 30	30 30 30 30 38	50 50 45 55	79.3 79.3 79.3 79.3 79.3	52, 1 52, 1 52, 1 52, 1 52, 1
	13 14 13 00 00 00 00 00 00 00 00 00 00 00 00 00	70 90 40	88 88 89	61.5 61.5 61.5	80 89 100 70	87.3 87.3 87.3 87.3	87,3 87,3 87,3 87,3	60 70 90 75	79.3 79.3 79.3 79.3	79.3 79.3 79.3 79.3
	17 18 19 20 20 21 22 22	50 - - 50	88	56,2	50 40 40	30 30 30	30 30 30	70 50 45 45 45	30 30 30 30 30 30 30	52,4 52,4 52,4 52,4 52,4
Эффект в 6/а			0,6	-0.4		0,35	0.35		0.3	0,2

Оптимизация внутристанционных режимов ГЭС связана с учетом определенных ограничений, накладываемых на гидроагрегаты станции, к тому же пределы и неличина ограничений различны для разных станция Например, отранечение тиса P^+ — (где $P_1>0$) не всегла истолит на миничествет гозм дностей агрегатов, так как по инжиему предела и и. и. и. и. накладываются ограничения как по под итили манетат от так и по вапитации. Последнее существенно при миним ленка отметках и жиет. — та. На результаты расчетов оптимязации замети илливот та же траничения по транеф орматорам, кабелям (в. — гри и для ма трета ком на танции) и т. д. Нема-лонального чини чин чил требу т трипичение другого типа наличие групичение иним чил требу т трипичение другого типа наличие групичение серибности и предагов на станции, так и целью быстрого подхивта выарийны (z_1, z_2) и и стани, так и целью быстрого подхивта внарийны (z_1, z_2) и стани, былика, паличие группового регулирования из регулирования и трупичения и трупичения и други в том и дрении оптимизации внутри такии пова р жим и 13° менее оффективно.

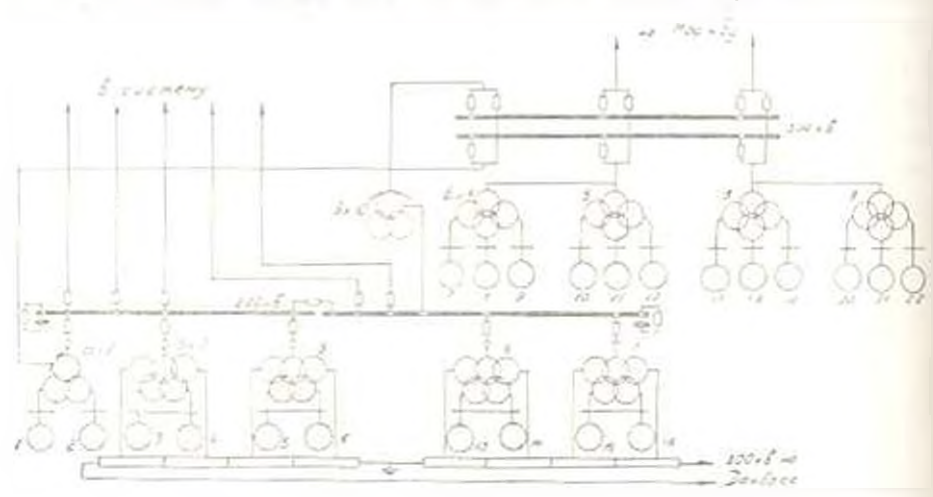


Рис 2. См. са рус с при при в ветрей ГЭС имени XXII свеми КПСС

Учитыван вышеук запине и сеуждения и используя адгоритм оптимизации внутим жимов ГЭС ПГ, на примере Волжской ГЭС им. XMI сте в К в С предоставить для некоторых реальных режимов (табл. 1). За исходиум информацию приняты записимости потерь в гидроатретство от нагрузки при различных напорах-

Гезультаты расчетов показали, что оптимальное распределение нагрузки между однотипными прегатами с совершенно одинаковыми характеристиками при заданном составе агрегатов с учетом ограничений (по подпитникам, ванитации, трансформаторым и г. д.) в определенной зоне нагрузок станции получается неравномерным; часть работающих агрегатов нагружжется одней нагрузкой, а остальная другой.

В табл. І приведены данные по фактическим режимам за ряд карактерных суток и звачения полученных оптимальных режимов с учетом различных способов группового регулирования. На указанной ГЭС имеются дне группы регулирования каждая из которых охватывает агрегаты блоков стороны 220 км и 500 км в отдельности, кроме блоков 1 и 2 (рис. 2).

Из таблицы видно, что полученные оптимальные режимы имеют два уровня выгрузок эгрегатов. Данные столбцон 5—6 показывают, что существующая системы группового регулирования при прочих равных условиях охватывает результаты оптимизации. При этом эффект от оптимизации по сравнению с рактическим составляет и среднем 0.3-0.4%0.

Однако, не при всех значениях нагрузки станции и количества агрегатов становится возможным осуществить оптимальную двухступенчатую загрузку агрегатов из-за существующей системы группового регулирования (столбим 2—3, 8—4). Как видно, если и какой-нибудь группе имеются нагрузки и два уроння, то необходимо предварительно осреднить нагрузки и равномерно загрузить работающие агрегаты данной группы. В этом случае агрект от оптимизации резко снижается, к в некоторых случаях стационарные потери по сравнению с фактическими увеличиваются (столбим 1, 3).

Замена существующей системы регулирования на инун состоящую из двух групп с двуми ступеними в пользо позволяет охнатить весь диапалов изменения нагрузки станции с ноэможностью оперативного изменения нагрузок агрегатов в каждой группе, остапляя при этом неизмением число работноших агрегатов. Тогда реальное уменьшение обществиционных потерь по сравнению с фактическими достигае, в среднем 0,5 - 0,55 ° п. При этом автоматически разрешается ограничение на гидростанцию в виде группового регулирования.

Когда суммарная нагрузка ГЭС, деленная на общее число работающих агрегатов при данном напоре, больше мощности, соответствующей точке перегиба, эффект от оптимального распределения по сравнению с равномерным становится равным пулю, т. с. равномерное распределение является оптимальным. Это объясияется тем, что при этих и больших нагрузках на агрегаты приные заинсимости потерь от нагрузки имеют монотонно поврастающий характер.

Например, для рассмотренной ГЭС при $P - P_r / n$ 70 80 Мат и H = 21 - 26 и равномерное распределение является оптимальным (ликло работающих агрегатов).

Выводы

- 1. В ряде случаев кривые потерь от нагручки агрегатов могут иметь точку перегиба (выпукло-вогнутая функция), что предопределяется характером кривых к.п.д. агрегата при давном напоре. В силу втого относительные приросты нагрузки гидроагрегатов получаются не монотонно поэрастающими функциями.
- 2. Наличие на станции двух групп регулирования не всегда позволяет без предварительных осреднений полностью охнатить по-

лученные после оптимизации нагрузки, что приводит к снижению эффекта.

3. На гидростанциях, где энергетические характеристики агрегатов не монотонно возрастающие функции и существуют дие группы регулирования, не обеспечивающие полнуки резличацию оптимальных режимов, желательно перейти на иную ехему регулирования, состоящую из двух групп с двумя ступенями в каждой, так как в этом случае сохраняется реальный эффект от оптимизации.

АрмНИИЗ

Поступило 9.Х1.1970,

Ռ. Ռ. ՀՈՎԱԿԻՄՅԱՆ

ՀԷԿ-Ի ՆԵՐԱՅԱՆԱՅԻՆ ՌՊՏԻՄԱԼԱՑՈՒՄ ԽՄԲԱՅԻՆ ԿԱՆՈՆԱՎՈՐՄԱՆ ԱՌԿԱՅՈՒԹՅԱՆ ԳԵՊՔՈՒՄ

Անվորվում

Հորվածում լուսաբանված է ՀԷԿ-ի ներկայանույին ռեժիմների օպաիմալացման շարցը խմբույին կ տոնավորման առկայու ան դեպքու չ
արված շրջման կետի առկայունկունը ազրեցատի կորուսաների և բեռնվածրի
կախման մեծ և նրա ազդեցությունը ռոյաիմալացման արզյունբների վրա։

Բ թի օպաիմալ բաշխումը աշխատող ազրեդատների միջն ստացվում է
նրկու մակարդակով։ Այն հիդրոկայաններում, որտեղ էներգնաին բնուքիադրերը մոնատոն անող ֆուսկցիաներ են և զուություն ունի կանոնավորման երկու խումբ, որոնք չեն ապա վում օպաիմալ ունի կանոնավորման երկու խումբ, որոնք չեն ապա վում օպաիմալ ունի արդկացան
երկու խութից, յուրարանչյուրում երկու ենքախումբ, չյանի որ այդ դրում
ապա որվում օպտիմալացումից ստացվող էֆեկտը։

JHTEPATYPA

 Бурначян — Шахыгранн С. В. Оптимизация инутристанционных режимов ГЭС "Электрические станции", № 3, 1970. Տեխնիկական դիտութ, սերիա

XXIV, No 6, 1971 revinique 1 1198

SHEPLLIHKA

C. K. HAHSH

СТАТИСТИЧЕСКИЙ МЕТО : ПРОГНОЗИРОВАНИЯ СУТОЧНЫХ ГРАФИКОВ НАГРУЗКИ ЭНЕРГОСИСТЕМ

В статье выменяется с эти тический четод прогнозировании сутечимы ; и--гон вы потогонии понициально какудан волочном простотой и да по поприность неполь отчин ЭРМ и бетегрого о беделении перспективных чения вагручии. Путеч принодин фак эм прафиков нагручки Арминской шер по сены за 1968 в 1970 г. е приводов еделанные на основе отчетных пробисов за для перспектывных реслетсь при проскупровании энергоспетем.

Анализ суточных графиков нагрузки Арминской энергоси темы за 15 лет (1955 69 гг.) п что у одновменных г на на года в год окраникотой неизмениями некоторые карактерные посенчисти, кроме того существует определенияя вмономерность в изменения конфигурации графиков. В течение псето исследуемого периода сохраняется определенная изаимоснязь между величинами средней нагрузки i-го часа, j-го месяця и максимальной нигруакой текушего да. Эта связь может быть представлена в виде ураввения регрессва

$$P_{ij} = a_{ij} \qquad (1)$$

где P_{ij} —среднемесячими нагрузка i-го часа j-го месяца ($i=1,2,\dots,24$; $j=1,\ 2,\cdots$ 12); P_n максимальная нагрузка текущего года: a_{ij} п b_i коэффициенты регрессии. Коэффициенты а. и b. определяются методом наименьших квадратов. Для каждой пары значений /и / это условие сводится к решению системы

$$\frac{\sum P - na = b \sum P_a}{\sum PP_a = a \sum P_a + b \sum P_a}$$
(2)

где n — число имеющихся пар значений P п P_{\bullet} . В каждом отдельном случае дополнительно определяются среднеквадратические отклонения σ_{ij} расчетных значений нагрузки P_{ij} расч от фактических $P_{ij,\mathrm{bar}}$ в до**лях от последних.** Для каждой пары значений *i* и *j*

$$\tau = \sqrt{\frac{\sum\limits_{l}^{n} \left(\frac{P_{\text{факт}} - P_{\text{pach}}}{P_{\text{факт}}}\right)^{2}}{n - 1}}.$$
 (3)

Коэффициент корреляции, позволяющий судить о тесноте спязи между пеличинами $P_{\rm tot}$ и $P_{\rm tot}$ определяется как

$$r = \frac{1}{1 - \frac{d^2}{2^2}}$$
, (4)

rac

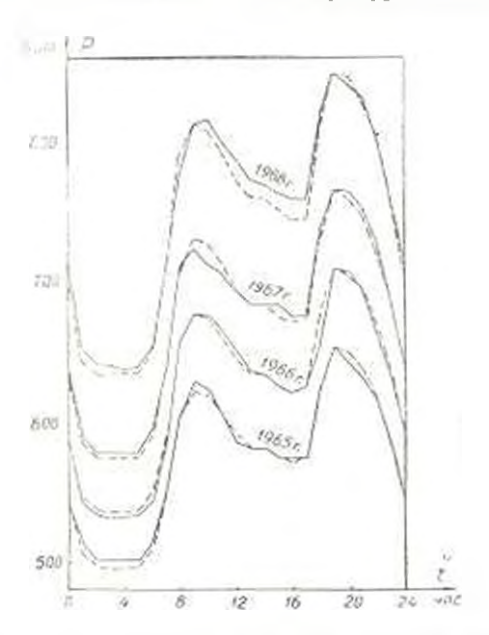
$$= \frac{\sum_{1} \left(\frac{P_{\text{total}} - \overline{P_{\text{drak}}}}{P_{\text{total}}} \right)}{n - 1}$$

это среднеквадратическое отклопение величин $P_{(a)}$, от их среднеарифметической величины

$$\sum_{i=1}^{n} P_{\phi_{abi}}$$

в долях от последнен.

По имеющимся фактическим графикам пагрузки за 15-летний нериод пычислены значения коэффициентов регрессии и корреляции для всех 24 часов всех месяцев года. Используя уравнения (1), были полу-



чены расчетиме графики нагрузки за все годы и сравнены с фактическими. О степени соответствия расчетных и фактических графиков можно судить по рис. 1. Отклонения расчетных величия от фактичес-

ких не превышают 3-4%. Коэффициенты корреляции во псех случаях находятся на достаточно высоком уровне (0,990-0,999). Это означает, что между величинами P_1 , и P_2 существует довольно тесная, почти функциональная записимость.

Таким образом, на протяжении сравнительно длительного периода времени, когда претерпенают значительные качественные и количественные изменения как структура генерирующих мощностей энергосистемы, так и состав потребителей, уравнения (1) сохраняются неизменными и с большой точностью описывают суточные графики нагрузки. Это обстоятельство появоляет предположить, что для описания
суточных графиков нагрузки данной энергосистемы уравнения (1) могут с достаточной точностью служить еще некоторое премя, тем болес, что и формах производства и потребления электроэнерсии пока
не ожидается каких-лябо качественных изменений.

Для прогнозирования графикон нагрузки с помощью уравнений (1) исобходимо иметь значения перспективных максимумов нагрузки $P_{\mathbf{u}}$. Их можно определять как методом прямого счета, так и пепосредственной экстраноляцией математически сформулированной тепденции изменения годовых максимумов за рид предшествующих дет.

Максимальные годовые нагрузки P, расположенные в возрастающем порядке (по годам), представляют собой динамический ряд, который, как известно, образуется тремя составными частями: долгосрочным движением или тенденцией, краткосрочным систематическим движением, весистематическим или случайным компонентом. Для определения кривой, наилучшим образом описывающей многолетиюю тенденцию изменения величин P_{∞} , была проведена аппроксимация по зависимости

$$P_{n} = a_{0} - a_{1}t - a_{2}t^{2} + \cdots + a_{n}t^{n}, \tag{5}$$

где t—годы; n—степень полинома; a_1,\cdots,a_n — коэффициенты, определяемые методом наименьших квадратов из статистического ряда значений P_n за исследуемый период. Каждая из атих функций определяваеь для пяти вариантов, отличающихся количестном исходиой информации (от 8 до 14 лет). Расчеты, проведенные на ЭВМ показали, что с увеличением степени полинома n аппроксимирующая функция охватывает исе больше случайных и кратковременных колебании и не сможет служить в качестве многолетией тенденции изменения. При вкстраполяции полиномов четвертой и пыше степеней получаются заведомо неверные значения. Многолетиюю тенденцию роста годовых максимумов наилучшим образом описывает полином второго порядка; разброс перспективных значений P_n , определенных по этой функции, для разных вариантов не превышает 3^n . Вместе с тем, полином иторого порядка достаточно хорошо описывает исходный ряд.

У динамического ряда, составленного из максимальных годовых вагрузок, отклонения отдельных точек от многолетией тепленции вы-

зыпаются перавномерностью внода генерирующих мощностей, подъемами или спадами производства в отдельные годы, а также некоторыми случайными факторами (колебания температуры и т. д.). В рассматриваемой пергосистеме эти колебания составляют незначительного плачину и в основном носит случайный характер.

Аля оценки величин случайных отклонений от тенденции пользуемся теорией малых выборок, для которых имеет место распределение рассматринаемого признака по захону Стьюдента. Расчеты показали, что ступайные отклонения фактических точек от расчетных с периятностил 0,995 не пренышает

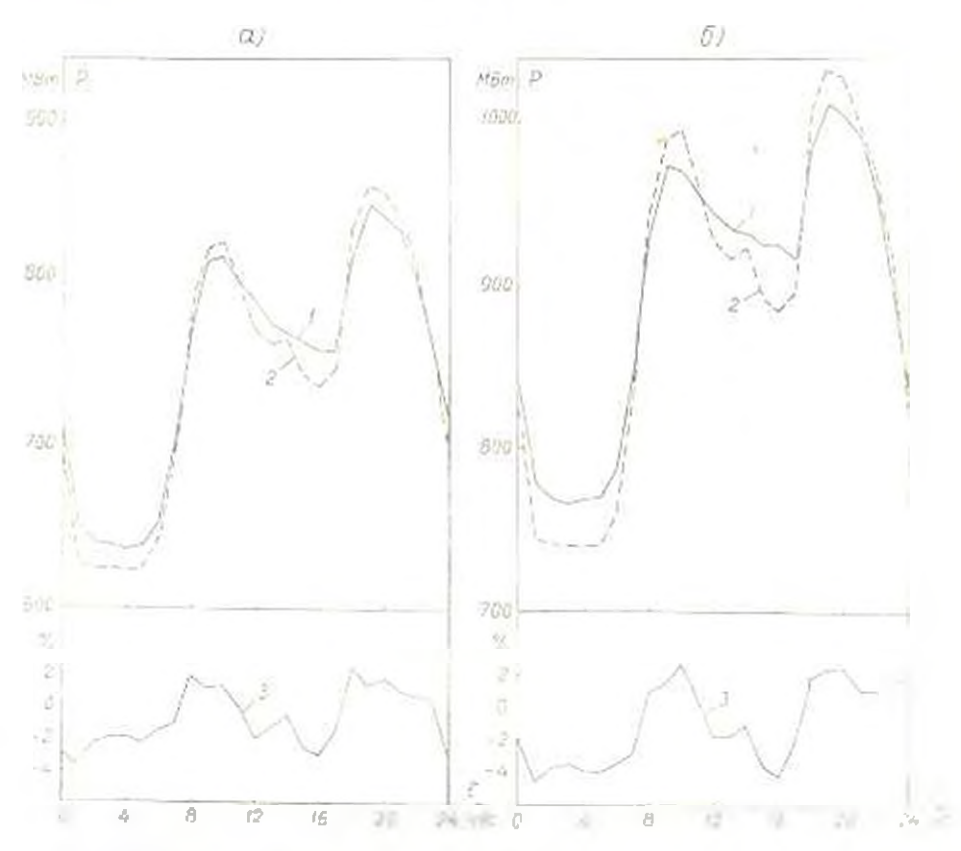


Рис. 2. Сраннение фактического графика нагрузки с прогнозом: а-прогноз на 4 график; а-прогноз за прогнози за пригнозирования

Выли пропедены дополнительные исследования с целью выя нения вопроса о минимально необходимой информации, которая может дать удовлетворительные результаты. Расчеты показали, что чем длиниее исходный ряд, тем лучше результаты просноза. Оказалось, что информация за 5—8 лет дает удовлетворительные результаты при прогнозировании на 3—4 года; а для прогнозирования на 5—8 лет необходима информация за период не менее 10 лет. С целью проверки точности предлагаемой методики были прогновированы суточные графика нагрузки на 1968, 1969 и 1970 гг. на основе фактических данных за 1955—64 гг. (прогнов на 4 года, 5 и 6 лот) и сопоставлены с фактическими графиками. Исходные данные для расчета графика среднего декабрьского рабочего дня, а также результы прогновов на 4 года и 6 лот (без оценки доверительного интервала) приведения в табл. 1. Расчетные и фактические графики 1968 и 1970 гг., а также графики ошибок прогнозирования представлены на рис. 2. Максимальная ошибка прогнозирования на 4 года составляет 3,6%, а на 6 лот 4,5° о

Tabanga 1

N N	Сугочные графиян нагручен, МВт								Коэрфициенты рогрессия		Hparman, MBm			
7	1955	9501	1957	1958	6501	1961	1961	1 62	1. c . 2	1901		a	890	070 Ao
1 2 3	243 241 242	257	254 252 249	279 - 75 273	305 298 295	314 30a 304	334 330 326	355 354 349	405 405	460 455 455	0,660 0,662 0,664	60,9 56.5 53,5	629 626	744 741 746
18 19 20	270	281 284 282	290 .97 302°			3911"		459*	505 524*		0,975 1,004 0,996	1.5 -2.3 0.5	835 860° 856	1006 1035* 1030
24	2:8	268	266			329				401	0.755	41,1	691	822

^{*} Годовые маненчуны (Ры)

Результаты сраинения, а также возможность проведения расчетов в кратчайшие сроки с помощью ЭВМ позноляют рекомендовать предлагаемую методику для применения при прогнозировании суточных графиков нагрузки крупных анергосистем на недалекую перспектину (5—8 лет). По мере накопления дополнительного рактического материала необходимо провести дальнейшее уточнение метода целью расширения области его применения.

ЕИИНидА

П ступпао 8 VI.1970

U. A. AUASUL

ԷՆԵՐԿԱՀԱՄԱԿԱՐԳԻ ՔԵՌԻՎԱԾՈՒԹՅԱՆ ՕՐԱԿԱՆ ԳՐԱՖԻՆԵՐԻ ԿԱՆԵԱԳՈՒՇԱՆՄԱՆ ՎԵՋԱԿԱԳՐԱԿԱՆ ՄԵԹՈԳ

Unfoldered

Հայաստանի է էներդանան այր էլեկտրական բնոնվածության օրտ <mark>կան դրա</mark>ֆիկների կանիւացութակման վիճակագրական մեքնորը մոտ ապաղայի (5-8 տարի) համար Մեքքոդը հնարավորություն է ընձեռնում ւաշվի առհել ինչպես ւաշվետու գրաֆիկների ամանմասությունը, այնպես էլ նրանց՝ ըստ տարիների տեսթի վուվորության օրինալավությունները։ Բերված է Հայկական Լներդահամակարգի 1968 և 19.0 թիլականների միջին աշխատանթային օրվա փաստացի դրաֆիկների համեմատությունը 1955—1964 թթ. հաշվետու դրաֆիկների հիման վրա կատարած կանիտողուշակման հաս Չորս տարվա համար կանիտողուշակման առավելագույն սխալը կազմում է 3,6 վեց տարվա համար Տեխնիկական գիտութ, սերիա

XXIV, A§ 6, 1971

Coparations taxs

научные заметки

Р. А. ПЕТРОСЯНЦ, В. В. ВАРДАНЯН

О ВЫРАВНИВАНИИ НЕКОТОРЫХ ЭМПИРИЧЕСКИХ РАСПРЕДЕЛЕНИЙ ПО ОБОБЩЕННОМУ ЗАКОНУ РЭЛЕЯ

При выборе теоретической функции распредел или для вырашинвания эмпирических распределений, подчиняющихся закону Рэдея,
существенное значение имеет надичие и отсутствие систематического
отклонения данных от п
минин, характеризурацих точность обработки в машиностряении (радизакное бнение двух номинально спосных цилиндрических поверхностей, непарадледьность и перпендикулярность идоскостей, конусность
образующих цилиндрических инперхностей и т. п.), обычно выравнивается по закону распределения Рэдея [1, 2], функция плотности которого имеет вид:

$$z(r) = \frac{r}{r^2} e^{-\frac{r^2}{r^2}},$$
 (1)

где з-параметр.

Для данного однопараметрического распределения митематическое ожидание и дисперсия будут:

$$\overline{r} = \int_{0}^{\infty} r \varphi(r) dr = \sqrt{-\frac{\pi}{2}} \sigma_{\epsilon}$$
 (2)

$$D = \left[(r - \overline{r})^{\frac{1}{2}} : (r) dr = \left(2 - \frac{\pi}{2} \right)^{\frac{1}{2}}.$$
 (3)

Пусть векоторое выпирическое распределение определяется частотами $m_{\rm b}$, соответствующеми интервалам $[r_{\rm b}-h/2, r_{\rm b}+h/2]$ (h неличина интервалов). Тогда среднее вывчение и экпирическая дисперсия будут:

$$\overline{r}_i = \frac{\sum m_i r_i}{\sum m_i} : \tag{4}$$

В некоторых авторатурных всточитках указанное распроделение называется распроделением Максисала.

$$D_{i} = \frac{\sum_{i} m_{i} (r_{i} - \overline{r}_{i})^{2}}{\sum_{m_{i}}}.$$
 (5)

При пыравнивания данного эмпярического распределения по теоретическому закопу распределения Ралея принимается $r=r_*$ и D=D тогда на основании (2) 15) будут дис формулы для определения параметра :

$$z = r, 1, 2 = ; \tag{6}$$

$$z = \begin{bmatrix} D_s \\ 2 - \pi/2 \end{bmatrix}. \tag{6'}$$

При отсутствии систематической погращности значения подученные по формулам (6) и (6), будут достаточно близки, и, принимая одно из них (или их среднее) за значение параметра и получим искомое распределение (11, Полобный пример рассмотрен и [1].

В общем же случае, в силу отличия данного эмпирического распределения от теоретического по закону Ролея, значения з по формулам 16) и (6) не социвдают. В частности, ито происходит и рез датате того, что рассм тринаемая случайная величина имеет также систематическое отклонение от нуля (систематическая погрешносты). В этом случае для выровшивания эмпирического распределения приемлем обобщенный закон распределения Рэлея, имеющий функцию илотности [2]:

$$= (r) = \frac{r}{z^2} e^{-\frac{r^2 - n^2}{2\sigma^2}} I_0\left(\frac{nr}{2\sigma^2}\right). \tag{7}$$

где I_e функции Бесселя нуленого порядка минмого аргумента.

Это распределение—двухнараметрическое с нараметрами а и =, так а характеризует систематическое отклонение от нуля; при а = 0, распределение (7) переходит в (1)

Для математического ожидания и дисперсии по обобщенному закону расприделения Радея получим:

$$r = \int_{\mathbb{R}^n} r \varphi(r) dr = \int_{\mathbb{R}^n} z \Phi\left(-\frac{1}{2}; 1; -\frac{\sigma}{2\pi}\right)$$
 (8)

$$\int_{0}^{\pi} (r-r)^{2} \varphi(r) dr = 2z^{2} - a^{2} - \frac{\pi}{2} z^{2} \Phi^{2} \left(-\frac{1}{2} : 1; -\frac{a^{2}}{2z^{2}} \right). \tag{1}$$

где Φ (2; ; 2) вырожденная гипергеометрическая функция [3]. Для определения параметров a и в приравияем среднее вначение и импирическую дисперсию D_{**} , определяемые по (4) (5), вначениям r и D_{**} определяемые по хучим систему уравнений:

$$\sqrt{\frac{\pi}{2}} \operatorname{sch}\left(-\frac{1}{2}; 1; -\frac{a^2}{2\pi^2}\right) = \overline{r},$$

$$2\pi^2 + a^2 - \frac{\pi}{2} \pi^2 \operatorname{ch}^2\left(-\frac{1}{2}; 1; -\frac{a^2}{2\pi^2}\right) = D_{\alpha}.$$
(10)

Внедя обозначения $z=\frac{d^2}{2\pi}$ и $F(z)=\Phi\left(-\frac{1}{2}+1;z\right)$, система (10) примет вил:

$$zF(z) = \sqrt{\frac{2}{\pi}}\overline{r}_{z},$$

$$z^{z} \left[2 + 2z - \frac{\overline{v}}{2}F^{z}(z) \right] = D_{z}.$$
(11)

исключая з, для определения получим транеценлентное уравнение:

$$\Psi(z) = \frac{2 - 2z - \frac{1}{2}}{2} = \frac{zD}{2z}$$
 (12)

Решая уравнение (12), определим значение г; затем по первому из уравнений (11) ваходим

$$\sigma = \frac{2}{F(z)} \left\{ \begin{array}{c} 2 \\ \pi \end{array} \right. \tag{13}$$

Aance-

$$a = \tau \mid 2\overline{z}. \tag{14}$$

Для облегчения вычислений составлена таблица функций / (z) и $\Psi(z)$ (табл. 1). С этой целлю функция F(z) была разложени и ряд [3]:

$$l'(z) = 1 + \frac{z}{2} - \sum_{i=1}^{n} (-1)^{n-1} \frac{2\pi - 0!!}{2\pi (m!)^3} - 12$$

Вычисления произведены на ЭВМ "Напри", при втом в ряду (15) сокранено 11 членов, что обеспечивает для завтежий 4 видий F(z) и $\Psi(z)$ точность и 10^{-4} .

							7	akauga 1
2	F(z)	W (#)	2	F(x)	ⁱ } (±)		1 (2)	W (z)
0.0 0.1 0.2 0.3 0.4 0.5 0.6 0.7	1,0000 1,0494 1,0494 1,1446 1,1906 1,2356 1,2795 1,3275 1,3647 1,4060	0.4292 0.4270 0.4214 0.4130 0.4054 0.3943 0.3838 0.3728 0.3621 0.3514	1,0	1.4465 1.4502 1.5251 1.5251 1.5373 1.6008 1.6377 1.6740 1.7095 1.7445 1.7791	0.3409 0.3307 0.3209 0.3113 0.2433 0.2349 0.2767 6.2690 0.2615	2.0 2.2 2.4 2.4 2.4 2.4 2.4 2.4 2.4 2.4 2.4	1,8131 1,8465 1,8794 1,9119 1,9439 1,9754 2,0065 2;0372 2,0474 2,0973 2,1268	0,2544 0,2476 0,2470 0,2470 0,2348 1,7289 2220 0,2175 1,123 0,2072 0,2024 1,197;

Заметим, что при очень больших систематических ошибках, когда a , и больших значениях r будем иметь $\frac{dr}{r}$ 1, тогда для функции I_0 () справедлино асимптотическое разложение [3]:

$$I_{\nu}\left(\frac{ar}{r}\right) = \frac{ar}{1 - 2r} \tag{16}$$

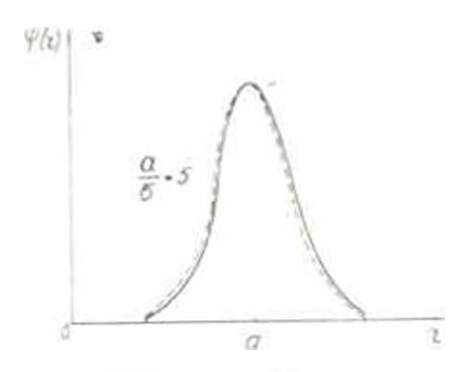
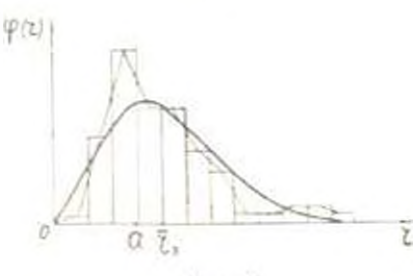


Рис 1 Графиян функция распределения по обобщенныму закону Релея, по поружденому честну Гарсия.

Подставаяв (161 в 17), получим

$$\varphi(r) = \frac{1}{\pi \frac{1}{2\pi}} e^{-\frac{(r-a)^2}{2D}},$$
(17)



Puc. 2.

откуда чидно, что при вначениях r, близких к a (когла 1 r $a \approx 1$), функция (r) переходит в функцию плотности пормального завона распределения Гаусса:

$$z(s) = \frac{1}{z + 2\pi} e^{-\frac{z + - \pi^2}{z^2}}$$
 (18)

Это означает, что при больших значениях систематической погрешноели (параметра в) обобщенный закон распределения Ралея иблизи пентра распределения олизок к нормальному закону распределения Гаусса (рис. 1).

Пример. В табл. 2 (столбцы 1 3) приводится распределение биений партии валон, обработанных на токарном станке. Вычисления дают: $r_1 = 0.0453$; $D_2 = 0.000480$; $\frac{1}{2r_1} = 0.367$. Согласно (12) по табл. 1

Tobanna 2

Интервалы	Серсан- на интер-	Эмпиричес- кие часто- ты ж.	-(r) 110 popsyve (18)	Теоретические частоты m.	$(m_l - m_l)$
0,005÷0,015 0,015÷0,025 0,025÷0,035 0,025÷0,045 0,045÷0,055 0,055÷0,065 0,065÷0,075 0,075÷0,085 0,085÷0,095 0,095÷0,105 0,095÷0,115	0.01 0.02 0.03 0.04 0.05 0.06 0.07 0.09 0.10 0.11	11 13 24 16 16 10 7 1 1 7 2 7 2 1	6.41 12.11 15.92 17.38 16.17 12.82 8,82 5.23 2.56 1.18 0.45	11,26 17,22 14,80 16,21 15,09 11,92 8,19 4,84 2,42 1,11 0,42 0,14	5.73 0,03 0,05 0,31 0,17
Сумча		93		92,35	7.74

интерполяцией получаем что при W(z)=0.367 z=0.76 и F(z)=1.348. Тогда по формуле (13) =0.0268, а по формуле (14) для системативеской погрешности получим α 0.0330. Таким образом, функция плотности для рассмотренного примера будет иметь вид:

$$z(z) = \frac{1}{0.00072} - \frac{1}{0.00072} I_a(45.9 r).$$

Теоретическая и эмпирическая кривые распределения принедены на рис. 2. Сраниение ампирического и теоретического распределений по иритерию согласия Пирсона 1, дает:

$$\lambda = \sum_{i=1}^{n} \frac{(m_i - m_i)^n}{m_i} = 7.74.$$

Число степеней свободы k=n-r-1-4 (n—число интервалон объединения частот, встречаемость которых меньше 5; число параметров теоретической функции распределения). При 7.74 и k=4 $P(\chi^2)=0.103$ [1], что больше привятого уровня значимости 0.05. Следовательно, эмпирическая и теоретическая функции согласуются.

Еренонский политехнический институт им. К. Маркел

Псетупило 2.ИП.1971.

ЛИГЕРАГУРА

- Метеция станистической политической данных изменеров при Самет Министров читота стандиргов, мер и нажимительных изменеров при Самет Министров СССР, М., 1966.
- 2. Пин и И. А. Вероктиостино динамического расчета мишиностров-
- Гред ин Н. Рыман И. М. т. чуда интеграца, сумм. радов и произведения. Оплаттия, 1962.

E. M. ACPHЯH

КОЛЕБАНИЯ ВАЛА С РАСПРЕДЕЛЕННОЙ МАССОЙ В КРУГОВОМ МАГНИТНОМ ПОЛЕ С УЧЕТОМ СВЯЗИ С ДВИГАТЕЛЕМ И ГЛОСЕ ІНИЯ ЭНЕГГИИ В МАТЕРИАЛЕ

Рассмотрим сердения с распрадалениями по данне массовыми, упругими и маснитными параметр ми.

Выражения для компонентов сил магнитного притяжения согласно.
[1] будут:

$$P = \frac{RB^2}{4\sigma} \frac{\pi i ai}{\sigma ai} = \frac{\pi}{2} \left(\frac{R}{5000} \right)^2 \frac{\kappa I}{\sigma ai} . \tag{13}$$

. Так простоты в (1) принят , что распределение магнитной индукции не вависит от продольной координаты S_i а также от τ_i , τ_i e. $E(s_i) = E$ const.

Исследот колебания прационнегося тердеченка с погонной массой из, висиного в середине прикото патибная изетность которого в днеоздане массы с плечиния относител по точки прикрепления сери читна и слу принлешениется тапит рисктетом г. Буден
предполагать, го точка приложения разведействующей магнитных сил
и мести сердечина социадают. Ун угое и пистеревисное отклочения от вакона Гука при изглащих молебаних учитывать
согласно в диф еренц плые
круглого плини и с потикал но расп дожениям ислом и магнитеом
поле запишутся и имде:

$$\frac{\partial^{2}}{\partial s^{2}} \left| E_{i}^{Q^{2}x} \right| = m \frac{\partial^{2}x}{\partial q^{2}} - P_{X} - s \frac{\partial^{2}}{\partial z^{2}} \left| E_{j}^{2}(k + H^{2}) \left(\frac{\partial^{2}x}{\partial z^{2}} \right)^{s} \right| =$$

$$= i q \cos \tau,$$

$$\frac{\partial^{2}}{\partial s^{2}} \left| E_{j}^{Q^{2}y} \right| + m \frac{\partial^{2}y}{\partial t^{2}} - P_{y}^{2} - i \frac{\partial^{2}}{\partial z^{2}} \left| E_{j}^{2}(k - H^{2}) \left(\frac{\partial^{2}y}{\partial s^{2}} \right)^{s} \right| =$$

$$= i q \sin \gamma,$$

ЛИГЕРАГУРА

- Метеция станистической политической данных изменеров при Самет Министров читота стандиргов, мер и нажимительных изменеров при Самет Министров СССР, М., 1966.
- 2. Пин и И. А. Вероктиостино динамического расчета мишиностров-
- Гред ин Н. Рыман И. М. т. чуда интеграца, сумм. радов и произведения. Оплаттия, 1962.

E. M. ACPHЯH

КОЛЕБАНИЯ ВАЛА С РАСПРЕДЕЛЕННОЙ МАССОЙ В КРУГОВОМ МАГНИТНОМ ПОЛЕ С УЧЕТОМ СВЯЗИ С ДВИГАТЕЛЕМ И ГЛОСЕ ІНИЯ ЭНЕГГИИ В МАТЕРИАЛЕ

Рассмотрим сердения с распрадалениями по данне массовыми, упругими и маснитными параметр ми.

Выражения для компонентов сил магнитного притяжения согласно.
[1] будут:

$$P = \frac{RB^2}{4\sigma} \frac{\pi i ai}{\sigma ai} = \frac{\pi}{2} \left(\frac{R}{5000} \right)^2 \frac{\kappa I}{\sigma ai} . \tag{13}$$

. Так простоты в (1) принят , что распределение магнитной индукции не вависит от продольной координаты S_i а также от τ_i , τ_i e. $E(s_i) = E$ const.

Исследот колебания прационнегося тердеченка с погонной массой из, висиного в середине прикото патибная изетность которого в днеоздане массы с плечиния относител по точки прикрепления сери читна и слу принлешениется тапит рисктетом г. Буден
предполагать, го точка приложения разведействующей магнитных сил
и мести сердечина социадают. Ун угое и пистеревисное отклочения от вакона Гука при изглащих молебаних учитывать
согласно в диф еренц плые
круглого плини и с потикал но расп дожениям ислом и магнитеом
поле запишутся и имде:

$$\frac{\partial^{2}}{\partial s^{2}} \left| E_{i}^{Q^{2}x} \right| = m \frac{\partial^{2}x}{\partial q^{2}} - P_{X} - s \frac{\partial^{2}}{\partial z^{2}} \left| E_{j}^{2}(k + H^{2}) \left(\frac{\partial^{2}x}{\partial z^{2}} \right)^{s} \right| =$$

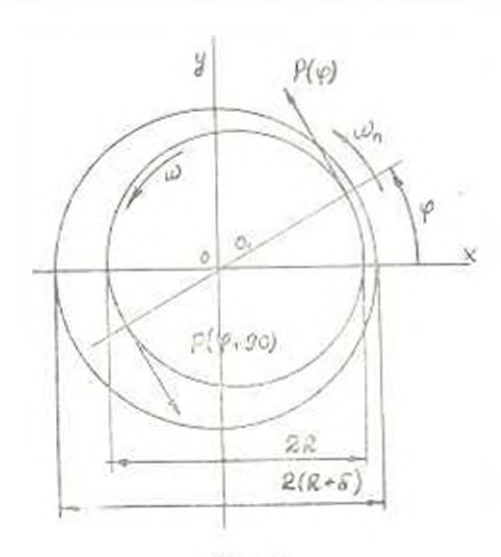
$$= i q \cos \tau,$$

$$\frac{\partial^{2}}{\partial s^{2}} \left| E_{j}^{Q^{2}y} \right| + m \frac{\partial^{2}y}{\partial t^{2}} - P_{y}^{2} - i \frac{\partial^{2}}{\partial z^{2}} \left| E_{j}^{2}(k - H^{2}) \left(\frac{\partial^{2}y}{\partial s^{2}} \right)^{s} \right| =$$

$$= i q \sin \gamma,$$

$$\frac{\partial \hat{\varphi}}{\partial t} = h(\hat{\varphi}) - \varepsilon q \left(x \sin \hat{\varphi} - y \cos \hat{\varphi} \right) - EI(y^{(1)} - x^{(1)}), \qquad (2)$$

где 2—малый положительный параметр, указывающий на то, что соответствующие члены системы (2) малы. Первые два ураннения системы (2) предстанляют движение центра массы сердечника, в последнее ураввение янляется ураннением моментов относительно точки O_3 (рис. 1).



PRC. L.

Решение первых двух уравпений системы (2) будем искать и виде

$$x = f(s) a_x \cos a_x \tag{3}$$

$$y = f(s) a_s \cos a_s \tag{4}$$

гле $\phi_x = \phi - b_x$; $b_x = \phi + b_y$; f(s) функция прогиба, представляющая собой решение невозмущенного уравнения, т. е. из перпых двух уравнений системы (2) при z=0 соответствующих граничных условиях. Для условий шарнирного захрепления

$$f(s) = \sin \frac{\pi n}{s} s. \tag{5}$$

Амплитуда а и фаза должны быть определены из следующей системы дифференциальных ураниений:

$$\frac{da}{at} = \varepsilon A_1(a)$$

$$\frac{dS}{dt} = \omega - \varepsilon - \varepsilon B_1(a)$$
(6)

Для решения задачи в первом приближении пужно звать A_i и B_{ii} которые определяются формулами [3]:

$$\frac{1}{2\pi M \omega_0} \int_0^1 Q\left(\sin \frac{\pi}{l} - s\right) \sin \gamma d\gamma ds;$$

$$\frac{1}{2\pi M \omega_0} \int_0^{2\pi} Q\left(\sin \frac{\pi}{l} - s\right) \cos \gamma d\gamma ds;$$

$$M = \int_0^1 m \left(\sin \frac{\pi}{l} - s\right) ds,$$
(7)

гле O функция рассеяния эперсии после под тавления решения в первом приближении (5).

$$Q = N \left\{ \left[-\left(\frac{\pi n}{l}\right)^2 \sin \frac{\pi n}{l} \operatorname{scos}(z + \theta) \right]^2 \times \left[\left(\frac{\pi n}{l}\right)^4 \sin \frac{\pi n}{n} \operatorname{scos}(z + \theta) \right] - \left[-\left(\frac{\pi n}{l}\right)^2 \sin \frac{\pi n}{l} \operatorname{scos}(z + \theta) \right] - \left[-\left(\frac{\pi n}{l}\right)^3 \cos \frac{\pi n}{l} \operatorname{scos}(z + \theta) \right]^2 \right\}.$$
(8)

Здесь
$$N=3Elj\,(k+li^3); \quad j=l\left[\frac{3}{m+3}\left(\frac{h}{2}\right)^m\right]; \quad h$$
—высота (диа-

метр) сечения стержия; m четное делое число; k, l коэффициенты миноненного и гистерезисного отклонений от закона Гука; l множитель сдинга фаз, произнодищий изменение фазы на ± 2 и гистерезисном отклонении (считаем втот угол незалисимым от амилитул деформации).

Перейлем к расчету пыпужденных колебаний.

Частное решение первых двух ураннений системы (2) с правой частью, и первым приближении, пыражается формулами (3), (4) и (5). Амилитуды а и угол сдвига фаз в определяются из уравнений (9) согласно [3]:

$$\frac{da}{dt} - A_1(a) - \frac{A}{(\omega - 1)} \sin^{\theta}(a)$$

$$\frac{d\theta}{dt} = (\omega - \frac{1}{2}) + B_1(a) - \frac{A}{aM(\omega - \frac{1}{2})} \cos^{\theta}(a)$$

$$A = \left(\frac{1}{2}q(s)f(s)ds\right), \tag{9}$$

где q(s)- интенсивность ноэмущающей нагрузки. Коэффициенты $A_1(a)$, $B_1(a)$ урганений первого приближения (9) вычисляются по формуле (7), если задана функция рассеяния экергин

Уравнение моментов из (2) с учетом (3) и (4) после несложных выкладок приводится к виду:

$$\frac{dz}{at} = -(z) - \left[a\cos\left(z - \frac{t}{l}\right)\sin z - a\cos\left(z - \frac{t}{l}\right)\cos z\right]$$

$$\left[a\left(\sin\frac{zu}{l} - s\right) - \left[a\cos\left(z - \frac{t}{l}\right)\sin\frac{zu}{l}\right] + \left[a\cos$$

Если ввести допущение, что в течение периода коле аний момент привода мало отличается от момента сил сопротивления, т. е. размость L(z) q > мала, то можно также считьть пропущиональной малому параметру, а <math>> полагать медленно изменяющейся функцией времени. Координату z можно рассматривать как кназицикличествую и усреднить по ней уравнение (10), которое окончательно примет вид:

$$\frac{d}{dt} = (1) - \frac{a}{2} \sin \theta - \frac{a}{2} \cos \theta. \tag{1}$$

Уравнения (9) и (11) образуют систему, экпивалентной системе (2), а величины а, в, - в общем случае определяются как интегралы втих уравнений.

Далее будем различать следующие для типа режимов длижения изучаемой системы! режимы стационарного движения и режимы нестационарного движения.

Режимы стационарного дняжения характеризуются тем, что они протекают при постоянных значениях неличин a_i b_i . В режимах нестационарного дняжения пеличины a_i b_i : могут изменяться и зависимости от a_i или b_i .

В соотпетствии с таким определением в стационарных режниах движения должно быть

$$\frac{dz}{dt} = 0, \quad \frac{da}{dt} = 0. \tag{12}$$

Тогда, согласно (9), (11) и (12), получим:

$$A_{1}(\alpha) = \frac{A}{aM} = 0,$$

$$(a) = \frac{A}{aM(a+1)} \cos \theta = 0.$$

$$(13)$$

$$(a) = \frac{a}{2} \sin \theta - \frac{a}{2} \cos \theta = 0.$$

Поэтому значения а, θ_i = при стационарных режимах движения определяются как корпи системы (13). Отсюда находим:

$$\frac{2}{m^{2}} = 1 - \frac{A}{aMm^{2}} \left[\cos \theta - \frac{B_{1}(a)}{A_{1}(a)} \sin \theta \right]$$

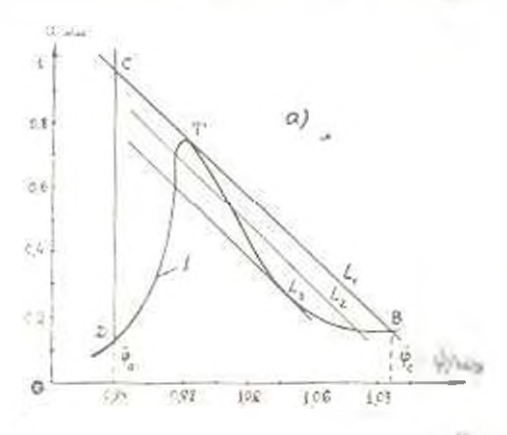
$$= \frac{2aMA}{A} (a)$$

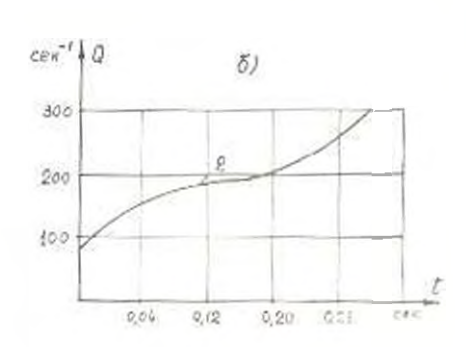
$$A$$
(14)

Интегрирование (13) выполнено при начальных значениях a_0 , θ_0 и ϕ_0 , соотпетствующих стационарному режиму движения в точке D_i а параметры системы имеют следующие значения:

$$r = 2 \cdot 10^{-2} \text{ mm}; \ k = 0.8 \frac{1}{cm} = \frac{184 \frac{1}{cex}}{cex};$$
 $m = 0.7 \frac{\kappa \Gamma \cdot cex^{\circ}}{cm} : 1 = 0.32 \, \kappa \Gamma m \cdot cex^{\circ}; \ a = 0.12 \, mm;$
 $5 = 84 \; ; \qquad / = 0.28 \frac{1}{cm} = \frac{1}{cex}$

Результаты интегрирования в виде графиков a(t) и $\phi(t)$ представлены па рис. 2. Кривая 2 характеризует прохождение через первую критическую скорость, при этом система стремится к стационарному значению a=0.2 мм и $\phi=2.12$ гг, соответствующему точке B на рис. 2.





Proc. 2.

Полученные результаты позволяют заключить, что нестационарные режимы движения систем с мялой нелинейностью при прохождении через резонане из ист такие ж— специ-шческие особенности изменения частоты, которые обнаруживаются у линейных систем. Представление о характере изменения амплитулы и частоты колебаний двют графики на рис. 2. а и о. Характеристика источника энергии L выбиралась так, чтобы избыточная мощность была минимальной, чтобы график L проходил через точку 7 (рис. 2, а). Величина углового ускорения — сильно наменяется и процессе тохождения системы черен область реасканса. Инменение углового скорения тесно связако с наменением амплитулы a с унеличением а пеньшается $\frac{d}{at}$ и наоророт. В резонанской доне — принимает свое наименьшее значение при м ксимальном значении a токка I на рис. 2). Однако, так как рассмитринаемая системы имеет мягкую характеристику нелан-йности, то при прохождении указ иных систем через резонанс необходимо больше времени, чем для других систем.

во вниизм

Паступны 29.К.1970.

ЛИТЕРАТУРА

- 1. Пожим Э Как блина плашающегося отдольного сордечника в мисинтист план, "Научино доканды высшен изкалы. Эточер механиям и автомотива". 1 1758.
- Василенко Н. В. Вани не те в маку папряжением и деформацией и реальных изотроному зелох. В ми, "Рассеппис внергии при колебаниях упругих систем". Изд. АН УССР, Киев. 1966.
- 3. Василенко Н. В. В раз година в повета по горы. В им. Расселии в пергин при подобания в вистем". Изд. АН УССР, Киев. 1963.

የበዚዜቴች ዜካብት ውፅ በኮቴ

«ՀՍՍՀ ԳԱ տեղեկացիշ (տեխնիկակառ գիտություննեցի սեզիա)» ճանդեսի 24-ող նատուի

Հայվողական տեխաիկա

իանիկական անցողիկ պրոցեմների տնաւոգիական մոդելացման մի մեխողի	
վերաբերյալ	1-27
և Մաթևոսյան, Ահայողային `այմիյ ժերեսաննրի օդտագործումը բարդ ժողելաց-	
beg umpphih Synniftymb holdpringht fibyph forddind Suding	7 - 23
. Welfording. Referedum homodopedate operablished disconnection of appenditions.	
ամահայայի մեկիորով	6-1
. Վազաբյան, Ա. Վ. Եռբիցին, Ֆոտովյնկարական հայվմամը սինցիկա-կւնկարայի-	
տային կապիլյար կերպավորկիչների կոնդնետրյացիշն սիայահրենոի ուսումնա-	
uhpan Pjaib	1 - 30
Չավողական ռեխնիկա	
. Հակորյան, Ե. Ա. հարիեւ Կողայիս կնրպափոխիլ օգորունկան չափիլների համար	6-15
ե, Վուկասյան, Մ. Ա. Կառապետյան, Վ. Ս. Սիմոնյան, Լ. () չափիչ չդրաների։	
սխալանցները	1-35
Հիդշավլիկա, հիդշոռեխնիկա	
Ա. Արևասյան, Ա. Մ. Պասպարյան, Ռ. Ս. Հակորյան, Աերորատեսարդենքի Հորիդո-	
նական տեղափոխման հայվարկի շուրջը	3-51
. Rummerub Saibard byliping Country intomproperius auchlinbuight artim-	
կության ան ուսումիասիրությ	1-10
	6-
	2-21
	5-47
	J-25
	2-11
e. omenime. cuiamilia ilimulminaki autamilmin. Aludani amitmilit	. — 11
£ըր ա ձր ու ի վ ու	
Ադրնեց, Բայիսկած օղարաժետրիերով գծի կալունացած տեժիժի համասարուժները	1-5
	խանիկական անցողիկ պրոցնոների տնասոգիական ժողեկացման մի մեկողի վերաբերյալ Մաթեսալան Անալողային հայիկ մեջնատների օդտագործումը բարդ մողելացնորներ սարբերի հրտոնատ կառավարման սիանժների հետագորումը արդումենաի ամանցյալի մեկողով Ավտոմատ կառավարման սիանժների հետագորումը արդումենաի ամանցյալի մեկողով Ապարյան, Ա. Գ. Շուիգին Ֆոտուլնկարական հայմնարակեն սիալանրեների ուսումնաակունին կապիլյար կերպավոխիլների նոնցննարակին սիալանրեների ուսումնաակումին կապիլյար կերպավոխիլների նոնցննարակին Չափողական տեխնիկա Հակույան, Ե. Ա. հարին հայանական կերպապիսին արություն Արկասյան, Մ. Ա. հարականության, Վ. Ս. Սիմոնյան և Երորասնությենըի հավար սիասաների Արդասվիկա, հիղոսունինիա Ա. Արևասյան, Ա. Մ. Կասպարյուն, Ռ. Ե. Հակույան Աերորասնությենըի հորիզունական տեղափոխման հայանակին ունական անական անական հանական հավարդի շուրջը Աստության հունային դիմադրության գործակցի մասին խողովակներում ոլ-ստաարիսակ չարժան դեպրում Մասպարյան, Յա Ա. Ալմասյան, Ռ. Ա. Հակորյան Աերորասնուրդի արացությունը և տեսակարար կշիռը երիա չերաով պնհորակերկական հայարարի հավարարարում Ա. Հուկանյան Աերացված չրահոսաներ հիղոակիրական հայանակ հինարական հերում Ա. Սակասյան դեպրում Ա. Սակասյան դեպրում Ա. Մայասյան դեպրում Ա. Մայասյան դեպրում չրամրարների աղմակալման պրոցեսի հայարաի կայման ենիում Ա. Սակասյան Հունային չրամրարների տղմակալման պրոցեսի հայարն արայասի պայման ենիում Անայան Հունային չրամրարների տղմակալման արոցեսի հայարի հայարաի հետում

2 8. Unning. Z. manudimphipped biphupungang pungdapitanh disumah abahatteph

հաշվարկումը

3-3

H	٤.	Ավիշիկյան, էլեկարական ցանցերում ակտիվ կորուստների ժինիժիղացիայի ժի	
ųį.	1.	ժեթոդի վերաբերյալ Բուկին. Անալոդային ժերենաների ժիջոցով վառելահյունի ծախսի Հարաբերական	6 - 21
,	- 91	աների չափումների նշտունյան բարևրացման որող ուղիները	5 17
	U.	Paintinggul. Բարդ էներդաքանակարդերի այրատաների ռեժիմինթի «այտիմայա-	
.1		ցում ՊԿ-ՀԷԿ-ի ասկայությամբ	6-29
4	u.	խաչատույան էներգահամակարգի ցանցերու կորուստների հարարերական ա::- թի հայժման մենիոց	3-14
Ð.	D.	որ տաշվատա տորոգ Հովակիվյուն, ՀէԿ-ի ներկայանային ապաիմայացում խմրային կանոնավորման	3-14
		ասկայության դեպրում	6 - 34
9.	υ.	Մելքոնյան, Վ. Ի. Սանակով, Անցոգիկ պրոցեսների և գծային սիստեմների հա-	
		<u>ճախականական բնուքքագրերի Հարվարկումներում Ֆուրլեի Վեափոխումեերի</u>	
P1	l.	Sweet day to the second of the	5-21
M.	ч.	Պապյան Էներգանամակարգի բեռնվածության օրական գրարիկների կանխա գույակման վիճակագրական մեթիող	6 - 33
		ductions throughouting autitud	u
		Էլեկտուսունիւմիկու	
11.	Œ,	Առաքելյան Կաժայական ոչ զձային բնուքիագրեր ունեցող անձաժառնումիցա	
		վայրում մացիիսական կամ էլիկարական գայտով պայմանակորված լարում-	
-	,	եերի տենկորը	1-13
U.	ч.	քորյան, էլեկտրական ժեջենաների ատաժենրի ժացհիսական լարժան արոշժան	h 00
9.	q.	լուրբը Գիվոյան, Շ. Ա. Արոյան, Հոսանրի և լարժան հակադարձ հայորդականության	3-80
		ֆիլարների հաժենատական անալից մարսիմալ պարտպանության արձենոներում	1-57
Ų,	EL.	Ишеницьтив. Л. Ч. Вердоедыв. Д. Д. Зменнопийний. Зменамов дызор.	
		վերաբայխումը փոբր կոնցհնարացիայի կլիպսոիդայ իւաոնութգով դիսպերա	
22		vhrankilnid	5 - 14
10.	Ц.,	Հայրապետյան, Գ. Ա. հարչաշյան, <i>Աեն-հայտ բնեռներով սինքսրոն չարժիշն աշ-</i> խատանը:	1-50
¥Į.,	0	Մալայան. Պողոյատաայյումինե Տաղորդայարերի ակտիվ դիմադրումյան հայ-	1 - 13.
		վումը արդյունաբերական մաչարության դեպրում	2-58
		ՄԵՐԵնայինություն	
		41	
U.	١Į.	Կասչան, Վ. Ա. Սիպալյավ, Ռ. Ս. Համբառյան <i>Մեդ հատ</i> ուն սկաժառակով <i>Տղկելիս</i>	
11.	κl	առաբացող բնրվաստինանը	1-3
	٠,٠	կարվության փոփոխուկիլուծը ընդ կաստան կարման մամանակ	7 1
Į.	d,	<mark>Կոնովալով,</mark> II, II, Գառորություն <i>Ու ստացրոնաը թեռևավորման դեպրում Հոգևա</i>	
		<mark>ժուβյան դիժադրունյան դնա</mark> նատվան վերաբերյալ	3 - 4.
		. Սարգսյան, Տարածական ուղոորդի։ ըառողակի սինքների վերարերյալ	3
Ч,	lu.	<u>նանրագման, Վ. Մ. Թաիշման, Շրջանա հև կետերի կորի կառուցվան մի հղա</u>	
h	_	Luigh duight	2-3
٩.	ĮKI ,	շանրագյան, վ. Մ. Թակոյան, Տարածական չուռավիկ-սողծակային ժեկաներ- մի նախաղծումը և կորուսաննրի փորրոցվան որոշ Հարցեր	5 - 3
		at a land and the duty duty to make the transfer of the transf	- L
		Մետալութվիա և մետաղագիտություն	
ų,	U.	Սպինով, Գ. Ա. Վինոգշադով, Ռ. Լ. Օնանյան, «Սորուև ժարժին- (հետգրահային	
		duhhphaiff. Gahmudwand umish annadhumhparffach jarpen	2-81
		<i>Շինա</i> բաբական մեխանիկա և չինաբաբական կոնստուկզիաննո	

\$. Ա. Գուոյան, է, Ե. հայիլան, *Սելոժիկ աղզեցություններին բազժանարկ կարկասա*

որն շարերը հակարդեցավելունների վերլումանիան ըստ ունեղ երկրայար հեկի	
ակսնլերոգրամենրի	4-3
S. II. Կուոլան, Սեյոմիկ շրջանների քամար թազմա արկ շենջերի կարկամներում Թեթև	
երկաքիրհունի կիրառման վերարոթյալ	5-88
Ս. Ս. Զաղոյան, է. Մ. Մուշադյան, Բետոնի ոչ-գծային սողջը բարձր չարժասակնասում	1-13
4. 11. Interpol. Faglwings zhiphph oplandhis phochagolph shaptununguist oc-	
unalbumphnelling.	3-39
P. P. Smithurgub. Lapousph impriding marmagord mann this of physica amount	-J1
վ. Ա. Հավգաժնովյան, կարկասային շենրերի ոյ-գծայիս աստասնումները պարրերու	
թյուների վերաթերյալ	1-16
I Ա. Մավակայան, վ. Գ. Սաոգայան, Օվալային կարվածքով գյանային բազանքների	
ատատահոգմերը	2-41
1. If University to Mathematical for and only be engaged and the second of the second	5 - 40
. Ն. Ա. մեկայը, Վ. յունաբրյան բացիրեկրում առավորադրաստիկական ղեկարվարիաները	
Phytographic networthing approved as antifol	1-34
Վ. Վ. Փինասյան, Վ. Ա. Կառապե դան, <i>Բենե ընտանի ակզբնական առանգականութ</i> յան	
logary, albanfitab amaple	4-23
՝ <u>Ֆիտական նոր</u> եր	
Հ. Մ. Աստիյան Բայիսված ժամասյով լիստոի տասանումները շրջանային ժագարական	
գույստ արը հայտարած բացի հրան հերգիայր բրման հարվատրան	6-30
1. P. Pangen mozal. Lymphonight oringed Suddimbinifaph phospet dunifa	1-08
Ս. Հ. Գաշ լայլու, Մ. Գ. Սաակյան, Ս. Լ. Մակ. <i>II ատացիոհար գնոնվածության</i> ան	
Addition of a cal superdates bulgations uponly thetap about and at fore	
rapimi	4-42
II, II դրվա նարձր իտեսավության, չրի և բորձր ջերժաստիճանի պայ. աններ -	
աշխատաց կլեկարական ժերեկասերի ժենուսացման նոեսարուկցիայի ծառայու	
News said back bulliam ground grade	5-58
II. վ. Հայա այունյան կարգավորված միաքալվածբների տեսակա-	
- Հլեկառառիմադրության նհատրոտում դարձը ջերմարարենանում	
11. Ս. Սեւսիս ան. Գ. Ս. Քաչարչան, Քացաբայրև ցանցերի բացիիչ տրահո3որժատոր-	
անրե անտ, վ և ռնանանվ բեռնվածություններն գորելացը	
angenese	4-50
It, tt. Manragulie Q. A. Ameguljuli. Rang Edichophy purposedbiech Company	
րեց արևորդացում օրևերի միկոդով	y-45
է, Ս. Սանակյան, Պատական կինեմատիկ դուցով մարի մեցողակ երկչուստվիկայրն	
մեխանիչ մենթի մետրիկ սինքնել	5-64
և Ա Վոլմիս - Բուեների և գահայրի պահերենրի ուսումը առանցթային դինամրկ	
աեղաննան ազուեցության տան	4-48
դիասւեւաը վուցի գրո	
	3 - 65
black though the management Od tennes	3-03

COAFPEAHIE

XXIV тома журнала "Известия АН Арм. ССР (сервя гехническах паук)"

Вычаслительния техника

G.	-	рования влектиров ханических переходных предессов м вномышиной	
		жергосистемы	1 27
П	1	Мать осян Примен ин АВМ для рельения интерсьой надачи точности	
		сложных моделирующих устройств	1-23
2	0.	. Мелкряян, Песледование систем вытоматического управления метолом	
		пропристион предмента	6-1
3	B	Казарян А. И. Шормент Песледование концентрационной посул ности	
		каниалярных раутно электролитических преобразователея о фолозаектро	
		ческим стигыванием	130
		Изменительная техника	
		AT INCTUME! TOURS I COURSE!	
P.	C	Аколян, И. 1. Набиев. Коловый преображиватель для измерителей мощ-	
		Пости	ű—Li
A	r.	Гукасян М. А. Карапетян, В. С. Самонян, Пограниваети 1—С измерит л.	
		пых ценей	1 – 35
		Ludpan.ss.a. inchar xnasa	
Я	á	Алмасяч. 1. М. Гаспарка, Р. Е. Актичи. К. расчету гирялонтальний с	
267	1	ремецения аэросиесей	3—51
þ	T	Асатрян. Эксперименталь от не телопаные предельной гранспортирующе	0-01
-		способности двухфазного потока в жестком русле	435
M	Г	Батестви О коэффициенте сопрознателня трения при пеуклановникомся	0 100
		дыжени в грубах	6-13
A.	М.	Гаспарян, Я. А. Алмагян, Р. Е. Аканан. О творо и планисти просме-	- 1,1
		сей при иневмотраценорте и илотном слое	2-21
T.	A.	Макарян. Установиншееся авижение поздуха с переменным расходом	
		вдоль пути в условиях кругового кожума центробежного вентилисора	
		электрической машины	2-29
Р	A_{-}	Оливия. Гидранлический растет аэрпрованного потока при разномерном	
		движения	547
B.	F.	Саполи Расчет процесса зимления подвяранилищ	2 - 14
		Эпергелика	
r	7	Адонц. Уравнения установиниегося режими линия с распределенными	
4 .	4 -		19
		параметрами	13

r.	7	Расчет у гановившегося режима многомилюсника, представляемо го Z-параметрами	3—3
Þ.	А.	Аларикии. Об ваном методе минимизации дотерт активной мощности в	
B.	Ĥ	электрических остях,	n-21
r.	Α	прироста расхода гоплива котдоогренатов с помещью АВМ - Бурчаста: Остимизация режимов работы дожных эпергосистем с НА-	5-17
		T9C	G-78
,t.l.	Lo.	Мелкония, В. И. Сваков. О вычисления преобразований Фуркс при рас- четах переходимх процессов и частотьых характеристик линениях	
ř.	r	оптимизация внутристационных режимов ГЭС пра палична.	5 - 24
		труппевога разулирования На Стат пресхия междиров а про при эхтория г обисси на	1-31
		tpysen anglocurry	-139
13	C	Хим. Метод расчета посительных приростов потери в сетях этерго- спетем	3-14
		3.1ck PoseKnuka	
Α	М	Араке на Тензор катяжении обусловления матинтных или электричес кам полем в неодвородной среде с произвольными исличенияму ха-	
pa	,	рактеристиками	112
ı	-	Айрапетия I А Ica (падмян Распе и г ЭГ-БМ режим работы явнополюс- пого упихрачного дангатель пре пачительных колебиким виприжения и	
Ċ.	Κ.	настоты в эпергосистеме. Подля К определ ию магня пого наи яжения тубнов -лектропеског.	1—50
		машин Гимоля, Ш. 1. Ароля Сранинтельный анализ фильтров тока и изпря-	3—60
		жения обратион последов: гельности и схемах моженивальной запшты Карать г от В. А. Грагории В. В. Аругичени Перер спределение постоян-	1—57
		ил пат в диспереной системдлинамальными включениями жалан компентрации	2—54
K.	P.	. Малиле: К расчето скин по опертигления сталевляминиемых при- водов на промытлениой частоге .	258
			260
		Manuelle Promite	
		, Кислем, В. 1. Сипал им. Р. С. Тибария. Тем сретура, поличиновая при шлифониции прерывнетым пругом .	1—3
M		K_0 (m_0 T	2-3
Л		. Коновалов. С. А. Гаспария Об оценке совретноления усталости при не- станионарном нагружения	3-45
10). á	Я Саркисян К синтему пространстичного паправлянниего четыреклюси-	
К	Х	инка. . Шато вы В М Ганачи Об одном способе построения криной круго	3S
		вых точек . Шахбыляя, В. М. Таприч. Спите простр. иственныго передат чного крипе-	2-9
41.	031	писло подаже, у за ставите прострене попросы уженьшения потерь	53
		Металлургия и металлоосичние	
H	4.	. Спиноч, Г. А. Винографов, Р. Я. Огичян. К исследованию сдвига на кон-	
		такто «сыпучее тело-опорная поверхность»	2-38

Строительной мехонако и строительные гомструкции

B. I Market O	
Вл. Л О периодах свободных правительных женебы й така	6
ных зданий	1-16
7. А. Гороло Э. Г. Авчили. За сил г реакции много лажных кир. 10. 1 годи	
на сейсмачески воздействия по акселерограммим сильных амаютря	
CCHRII	4-3
Т. А Гонови. О применение и применение в побетои в жаркиему многоза ж пл	
зданий для сойсмических раконов	1-,51
М. А. Застин гі М. Мурайли. О келинейний ползучести бетана при шы х	
температурах В А За-магая — «ментальное пость пость динамически пость порт	1-13
заний порышенирі этажності	1—35
Л. А Молексин, В 1 Стинени жалебания плин рических обольны плав	
ного селения	2-15
Л М Мурадян Пелинсовии ползучесть шанидинческой трубы пр гоха	
HEM	3-47
В. В Пинао - ям. В. А. Как — ям. О перичине полильного метура — то те	
легких бетония	1 2.i
Н. К. Спитко К физической теория упруго-пласивнеских продзедий примени	
тельно к зидечим уклойчивости	24
Г. Т. Хичитрич. Температ риме выпряжения и дисказовний эпобед по спертов	
по контуру пластике	J31
Нациные заметки	
Hadwing 32mc res	
С. В. Аругюван Выковитемпературное ние удельного втросон о	
тивления упорядочениях млянон Fe3(ALS))	3 14
Г. М. Авриял. Колебания вала с речут деленией мыссой в кру пром мынист	2 19
пом поле с учетом свети с доптателем и рассекина - о и и и	o 10
Л. Д. Выгодителен. О природа экининости лулканических доблен-	36
Е. А. Вольшая Выпункрания пластинов и индинарических под да	31.1
ствием осер то и наминеского сжизня	4-44
С. А. Гаспария М. Г. Стакия С. А. Мак. К эщенке хонностични на ражении	
	1-13
при нестациональных режимах нагружения А. А. Далиовая О прогиозировании срока службы из лянковной конструк	1-115
или обмогок «эсктроческих мании, работаминох и реде с пасакой	
	3-56
относительной влажностию и в воде Е. А. Персесии, Р. С. Баязии. Корреницио имй анализ графиков эктичных и	
репятичных инирузов р пределительных транеф высторов породежих	
	1- 31
естей . Р. А. Петроглиц В. В. Вародичан О вырадиняванна некоторых «мипрических »	1- 9
	4
распределений по обобществому элкону Рэдея 3 С. Самоти Менрова в й сиятел двухкрановининых соловенных злоских	
механиям и с вращательными кинематическими парыми	5-64
желопедата с приняген нави китемаличения нарами	, -(4
Персоналии	
Hany Rach Leaving	3-63

Исследование систем автоматического управления меходом производной аргумента. Мелкумян $\mathcal X$ О «Известия АН Арм. ССР (серия $\mathcal X$ Н.), $\mathcal X$ XXIV. № 6, 1971, $\mathcal X$ —9,

Предлагается новый подход к исследованию систем автоматического управления, основанный на свойствах производный аргумента. Установ дел критерий угойчанссти, принеданы некотирые оценки нараметроц качестил переходного процесса и разработам численный метол определения корш й характеристического полинома.

11лл. 2 Библ 4 нази.

VAR 621 - .031 | 539.62

О кол т почет подотивления т ния при не м. тип т . Б. р. тип М. V. «Известия АН Арм. ССР (серия Т. И.)», т. XXIV. № 6, 1971, 10—15

Исходя из экспериментальных исследований ижазано, что при турбулениюм режиме ускоренного движения потери эпергии больше чем при соответствуншем установнишемся дляжении Выведена формула конфишента получения трения в зависимости от отношения чисел Струхаля и В получения в виде степенной функции Показывается, что получения чти пенная функции относится ко всем режимам движения, подлежат к утычнения лишь постоянные

Пла 3. Библ. 2 цазв.

УДК 621.391 152±53.081 9

Коловый преобразовитель одя измерителей чощности. Аконян Г. С. Набиев П. А. «Пъвестия АН Арм ССР (серия Т. 11)», т. XXIV. № 6, 1971. 15 --20

Рас матривается коловый датчик с применением министюрных катушек ондуктивности для стрелочных измерителей мощности. Приослены блок кома макетного образца и экспериментальные кривые влиния конст — и осла тетален перинчных измерителей и работу датчека. Ляны практическое рекументации пра построение таких траборов.

Таба. 2. Илл. 3. Биба. 5 цазв.

VIK 621 311 - 621 3 017

Of одном методе манимизации потерь активной мощности в электрических сетях. Амирикви Р. А. «Известия МІ Арм. ССР. (серия Т. 11.1», т. XNIV. Ng 6, 1971, 21—28.

Рассматривается задача минимизации потеры активной мощности путем перераспределения активных мощностей генерирующих узлов с учетом ограничений по активным мощностям. Зазачи решается на основе мете доо градиентов и наискорейшего спуска. Одной из основных особенностей предлагаемого адгоритма является возможность ого искользования (потле виссения небольших изменении) для решения задачи комплексной оптимизации режимов эпергосистемые учетом питеры активной мощности в ее сетях. Приподится пример решения задачи для одной объединенной экер-

Габл 1 Библ 3 назв

Оптимизация режимом работы сложных энергосистем с НА-ГЭС, Бурначян Г А. «Изместия А1: 1 (серия Т Н.)», т XXIV № 6, 1971, 28—33.

Задача выбора оптимального режима работы ПА-ГЭС в сложной экергосистеме, овиду свойственной ей цикличности работы, рассматривается как вариационная задача с подвяжиными гранивами Исходя из постанов ки, получены необходимые условия, поэколяющие оптимизировать ре жим работы ПА-ГЭС с одновременным выбором продолжительности циклов заряда и разряда. Дастся метолики решения задачи

Пля 2. Библ 2 папа

VIII 621 311 21 ± 62-50 ± 519 47

Оптиминация внутрисканционных режимов PDC при наличии группового регилиропания Окакимян PP «Известия АН Арм. ССР (серия 1-11) — 1. XXIV. N 6, 1971, 14-48

Рассил риметля инпростимитацию чих тристанционных режимот 19С при наличии группового регуличинации. Показаны резланость наличия точки серстиба в зависимости потерь от нагрузки агрегата и ее влимне на результаты оптимизации. Получено оптимальное распределение нагрузки между работающими агрегатами в два урония. На гидростанциях, где эперстические характеристики агрегатов не монотопно возрастающие функции и существуют две группы регулирования, не обеспечивающие полную реализацию оптимальных режимов, желательно перейти на схему регулирования, состоящую из двух групи с двумя ступенями в каждой; в этом случае сохраняется реальный эффект от оптимизации.

Табл 1 Илл 2, Бабл, 1 вазв

УДК 621 311.16+621.311.15

Статистический метод прогнозирования суточных срафикав кагрузки эпереосистемы. Папян С. К. «Известия АН Арм. ССР (серия Т. Н.)». г. XXIV. № 6, 1971—39—44

Излагается статистический метод прогнозирования суточных графиков электрической насрузки энертосистемы, отличающийся простотой и дающий возможность использования ЭВМ эля быстрого определения перспективных графиков нагрузки Путем сравнения фактических графиков нагрузки Армянской ергосист мы за 1968 и 1970 гг. в прогнозом, сделаникм на основе отчитых графиков за 1955—1961 гг. процедена проверка метода, кото рая показала его достаточную зачность для переспективных расчетов при проектировании эперсосистем.

Илл. 2 Табл. 1.

УДК 621.7.01

О выравнивании некоторых эмпирических распределений по обобщенкому закова Рэлея Петросяни Р. А., Вардании В. В. «Напестия АН Арм. ССР (серия 1. Н.)», т. XXIV № 6, 1971, 15—50.

Эмпирическое распределение некоторых случанных величин, характеризукциях гочность обработки и машиностроении (радилавное биение, зепараживлениять, пенерисидикулярность поверхностей и т п 1 прицята выравиния ть по закону риспределения Рэлея. В работе показано, что если вмеется систематическая ошибка этих величив, то однопараметрический закон распределения Рэлея приводит к противоречию, и в этом случае выравинявание должно быть произведено по обобщенному закону распределения Рэлея, являющимся двухпараметрическим Получены формулы им двух параметров этого закона распределения через эмпирические данные, составлена табляца, облегчающая определение шачения этих пар иметров Приведен конкретими пример

Илл 2. Табл 2 Библ 3 назв

YJIK 621 824 | 62-26+517 9

Колебания нала с паспределенной массой в круговом магнитнам полс с учетом сомян с обисателем и расселния внергии в материале Асрини Г М «Изпестия 411 Арм. в Р (серин Т. 11)», в XXIV Ау 6, 1971, 50. 5 г.

Классическая теория взгиба стержней применена для пола, пращающегоги и магнизном поле под дей типем распределениой массы. Дифференциальные уравнения к пои и примененсей вала решентем асимпто тическим методом Боголибов, и просольского Принодит и аример численного решения.

Илл 2 Библ а назв



Технический редактор Л А АЗИЗБЕКЯН

13中 15周42

942 No 963, cakan 45

тирыж 520

Подписано к печати 14/111 1972 г Печ л 4.25 бум л 2.15. угл печ л 5,85, уч изд л 3,61 Формах бумагя 70 €1081/₁₆

RUJUVALUADERSAEV

Հայվողական տեխնիկա

% ±	Մելեումյան, Ավտոմատ կառավարման սիտոնմների հատղոտումը արդումենտի ամանգյալի մ	3
	23-5-035/	
(f. 2)	Բաբսեղյան, Օփման դիմադրության դործակցի մասին՝ խողոմակներում ոչ-ստա, ցիոնար չարմման դեպոում	10
	Չավուդական տչկսնիկա	
ź, U.	Հակոբյան, Ի. Ա. Նաբին, <i>Կողային կերպափոխիչ Հղորության չափիչների համար</i>	13
	Էնև-գևա <u>իկ</u> ա	
	Ամիրիկչան, Էմեկարական ականվ կորուստների ժիհիժիզացնայի ժի «Հրոցի վերաբերյալ	21
	Սուսնալյուն, Բարդ Լևերգամամակարգերի աշխատոտերի ռեժիմների օգտիմալա- ցում ՔԿ-ՀԷԿ-ի տոկայությամբ - Հովակիմյան, ՀԷԿ-ի ներկայանային ուղտիմալացում խմրային կանոնավորման	28
<u>11</u> I _L	ասկայության դեպրում Պայլան Էներդաքանակարդի բարերիլան օրական դրաֆիկների կանիսոգու- -ակժոն վիմանադրական մեքերդ	30
	Գիտական նորեւ	
II. II.	. Պետասույանց, Վ. Վ. Վարդոնյան, Արու լժայիրիկ բաշխուժների հավասարեցումը	
	Ոնլելի ընդ-անրադրած օրենթի միջոցով Ասշիլան, Բայիսիսի ժաստատվ լիսեսի պատանուժները շրջանային մազերձական	45
4.	quequest constit som nighting though a processing topically about entitied	sa
10.119	ւտաարի բովանդակությունը	58

СОДЕРЖАНИЕ

Вычислительная техника

д. О мел Песледовани систем и у в спривилия чето для прои в аргумента	
Гидрацияха	
М. Г. Ради. О ко-рами для сил самиет се тр ини при нес люве: повет дляженой а трубах	
Измерательная техника	
III. по при 1/ 1 п. 2	
Энеристика	
С. Е. При Статнетическа ий метод пресне прования суточи с графикан нагузов	1
Научные заметки	
Т. М Колебонов пада т деле воз часела в круговом мигантном поле с учетом связо с дин этелем и рас за за перени в материале.	45
Corepikante XXIV 1 Ma	5!